

Unitite ^U



IMPLANTAT

Descubra **IMPLANTAT**, el habitat educativo de S.I.N.
Una plataforma de enseñanza online creada para que
más profesionales aceleren su carrera y éxito profesional.

¡Acceda
IMPLANTAT.GLOBAL
o apunte la cámara de su
teléfono al QR code y
comience ahora su jornada
de conocimiento!



EDUCATION POWERED BY S.I.N.



Unitite



Evidencias Científicas

- › Investigación y desarrollo de productos con prestigiosos institutos y universidades como:
 - Universidad de Aarhus - Dinamarca
 - Universidad de Chalmers - Suecia
 - KU Lueven - Bélgica
 - Universidad de Malmö - Suecia
 - UNESP - Brasil
 - USP - Brasil
 - UFU - Brasil
 - SLmandic - Brasil

Excelencia en la producción

- › En los últimos tres años se han realizado grandes inversiones en equipos de última generación para la modernización tecnológica de nuestro centro de fabricación.
- › Producción anual de más de 5 millones de productos.



Descubre nuestra fábrica de sonrisas.
Escanea el código QR con la cámara de tu celular y realiza un recorrido 360° por S.I.N.

Presencia Mundial

- › Una de las mayores empresas de implantes del mercado mundial.
- › Amplia presencia internacional.

Calidad asegurada y certificaciones

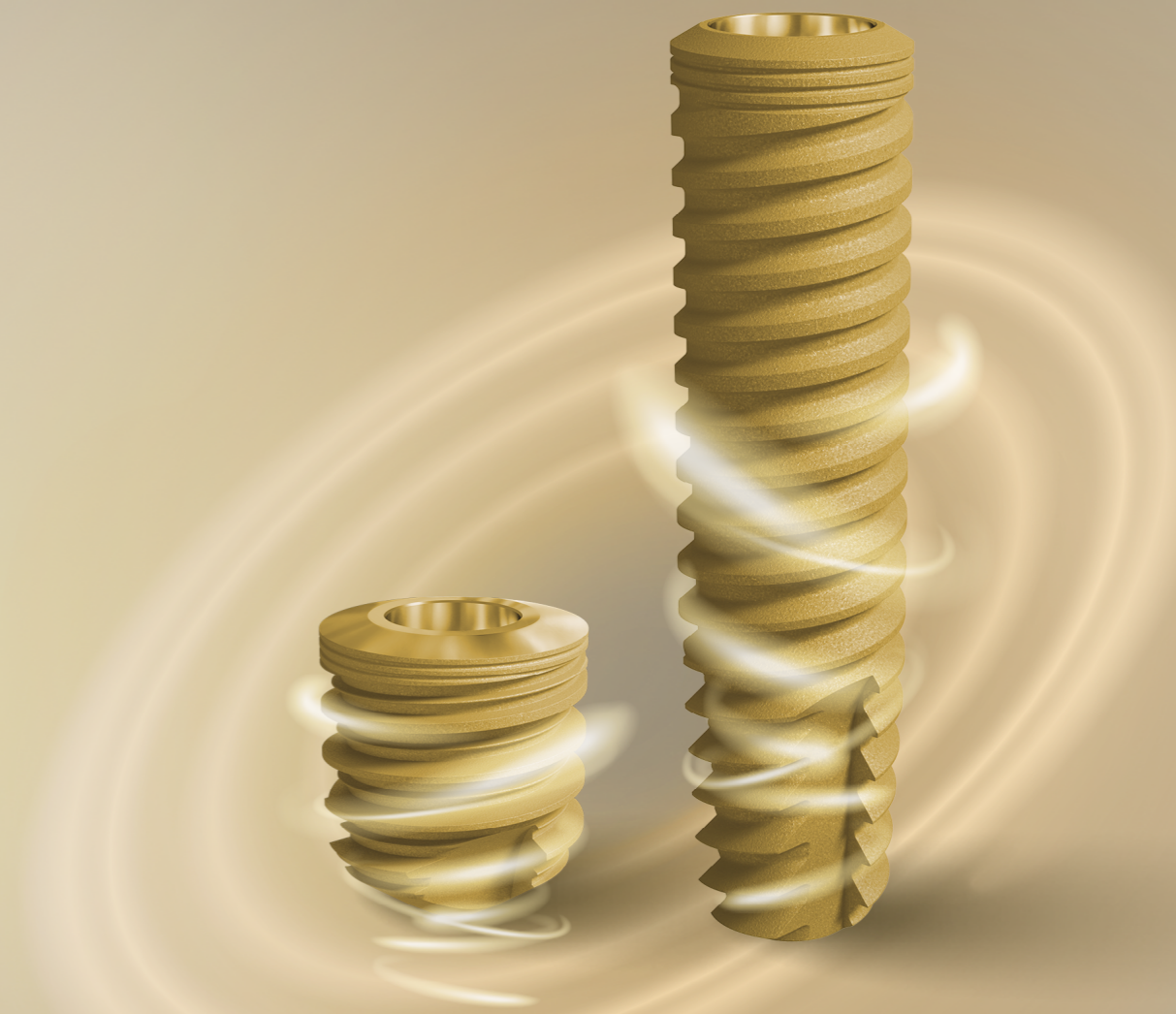
- › Riguroso control de procesos, desde la llegada de la materia prima hasta la entrega del producto final, garantizado mediante certificaciones nacionales e internacionales.



Unitite



DESCARGUE EL APP DE S.I.N.
Y VEA EN REALIDAD AUMENTADA
APUNTE LA CÁMERA DEL CELULAR EN DIRECCIÓN A LA IMAGEN.

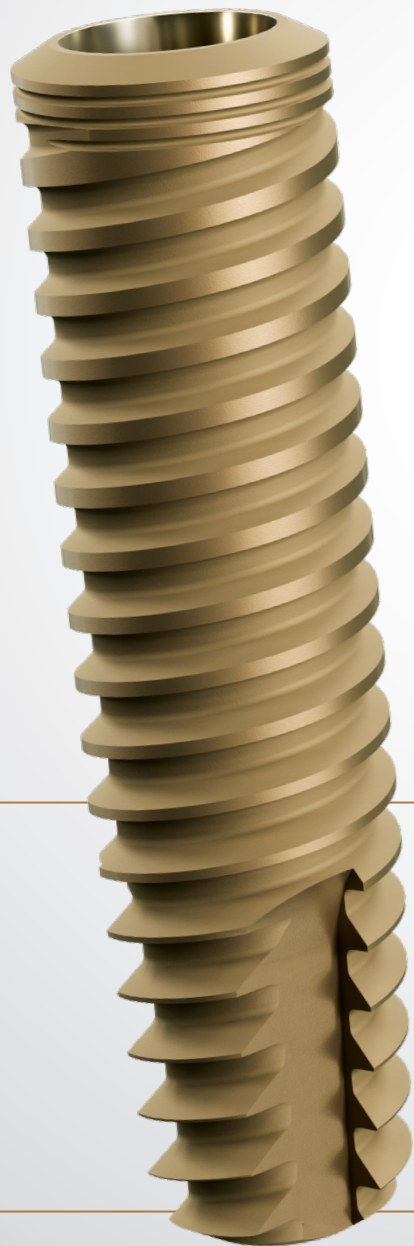


UNITITE®

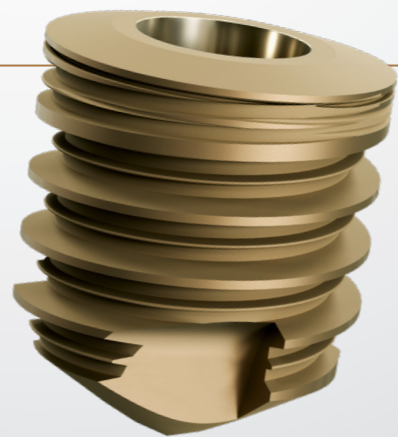
REDEFINIENDO LOS CONCEPTOS DE LA IMPLANTOLOGÍA.

La línea **Unitite®** nació de la combinación entre una **macrogeometría** exclusiva y una **nanoactivación de superficie** avanzada, transformándose en una línea de implantes que ha revolucionado el mercado mundial por su originalidad, innovación y altísimo desempeño.

CONOZCA EL MEJOR IMPLANTE DE LA ACTUALIDAD.



UNITITE® SLIM

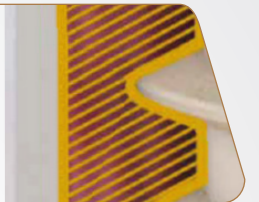


UNITITE® COMPACT

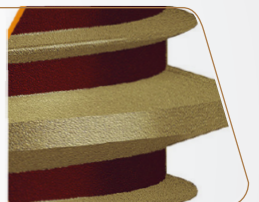
- Superficie exclusiva de **HAnano**: Desarrollada en las principales universidades de Suecia, esta nanosuperficie acelera notablemente la osteointegración.



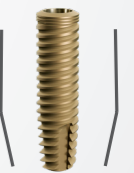
- Cámaras de cicatrización: La combinación entre las roscas externas, que tocan el tejido óseo, y las internas, que se mantienen alejadas de él, favorece una cicatrización híbrida de muy alta calidad.



- Aceleración de la cicatrización ósea: La elevada hidrofilia, generada por una capa ultrafina de hidroxiapatita, aumenta la actividad de las proteínas implicadas en el proceso de osteointegración.



- Macrogeometría híbrida diferenciada: La precisión entre el sistema de fresado y el diseño de la rosca externa permiten que haya una gran estabilidad y una compresión mínima del tejido cicatricial óseo periimplantario.



- Respaldo científico: Diez años de investigación y desarrollo con los mejores científicos de las universidades más prestigiosas del mundo.



SOLUCIONES COMPLETAS

Solo la línea Unitite® le da acceso a lo mejor de la implantología actual, permitiéndole excelentes resultados en diversos casos clínicos. Con Unitite® Slim y Unitite® Compact su planificación quirúrgica encuentra de antemano soluciones innovadoras y de alto rendimiento.

Un concepto, múltiples posibilidades.

HA^{nano} Surface

La hidroxiapatita (HA), el principal mineral presente en la estructura ósea humana, cuando se utiliza en la superficie de los implantes de titanio de manera nanoestructurada, forma un revestimiento homogéneo y estable que actúa como un potente catalizador cicatrizal reabsorbible que acelera y mejora las cualidades biológicas del proceso de osteointegración, en comparación con las superficies convencionales.

El nanorecubrimiento HAnano® ha sido desarrollado por investigadores de las principales universidades de Gotemburgo (Suecia) desde 2005. Científicos de diversos países han examinado y aprobado su eficacia, y los resultados se han publicado en decenas de artículos en las principales revistas científicas del mundo.

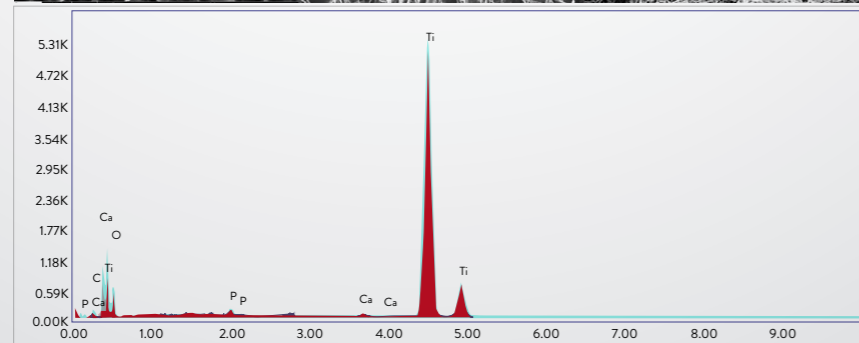
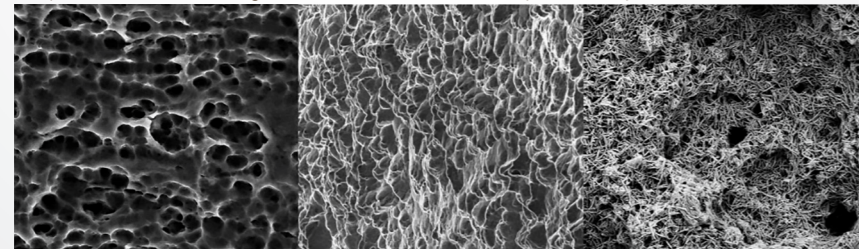
El HAnano® está formado por nanocristales de hidroxiapatita, cuyo tamaño y forma son similares a los del hueso humano, en un espesor de 20 nanómetros, sintetizados sobre titanio microrrugoso, lo que favorece el cambio de energía de la superficie, aumentando la hidrofilia y proporcionando un

sustrato que estimula una mayor adsorción de proteínas, adhesión, proliferación y diferenciación de los osteoblastos.

La presencia del HAnano®, en la superficie de los implantes de S.I.N., demostró una mejor respuesta de cicatrización en las pruebas moleculares de transducción de señales, en las que las proteínas implicadas en el proceso de cicatrización mostraron un aumento significativo en su concentración, probando el efecto positivo de este recubrimiento en la interacción con las células pre osteoblásticas. Asimismo, se produjo un aumento importante en la concentración de marcadores osteogénicos, como la fosfatasa alcalina y la osteocalcina, una clara indicación de la aceleración del proceso de mineralización.

Entre los aspectos más relevantes y de gran importancia clínica está la calidad mecánica del hueso que se forma alrededor de esta superficie altamente hidrofílica, exclusiva de los implantes de S.I.N., resultado del potencial iónico del recubrimiento HAnano®.

La siguiente imagen muestra la superficie del implante Unitite con un aumento de 5.000x / 10.000x / 100.000x, respectivamente. La superficie moderadamente rugosa de Ti con el PLUS de una nanocapa de hidroxiapatita.



El gráfico y la tabla presentados corresponden a un análisis de EDS en la superficie del implante Unitite, demostrando la pureza y la estabilidad de la superficie del implante.

PUBLICACIONES CIENTÍFICAS

Los efectos positivos y superiores del HAnano® han sido evaluados y comprobados por numerosos estudios científicos en diversas universidades renombradas e instituciones de investigación de todo el mundo. Encuentre algunos de estos estudios a través de los códigos QR.

INFLUENCIA DE LA ESTRUCTURA DE NANO-HIDROXIAPATITA EN LA FORMACIÓN ÓSEA PRECOZ.

Nano hydroxyapatite structures influence early bone formation.

Meirelles L, Arvidsson A, Andersson M, Kjellin P, Albrektsson T, Wennerberg A.

Journal of Biomedical Materials Research Part A Volume 87A, Issue 2, 2008, pp. 299-307



EL EFECTO DE LAS MODIFICACIONES QUÍMICAS Y NANOTOPOGRÁFICAS EN LAS PRIMERAS ETAPAS DE LA OSTEOINTEGRACIÓN.

The effect of chemical and nanotopographical modifications on the early stages of osseointegration.

Meirelles L, Currie F, Jacobsson M, Albrektsson T, Wennerberg A.

The International Journal of Oral and Maxillofacial Implants Volume 23, Issue 4, 2008, pp. 641-647



LOS IMPLANTES RECUBIERTOS DE NANO-HIDROXIAPATITA MEJORAN LAS PROPIEDADES NANOMECÁNICAS DE LOS HUESOS.

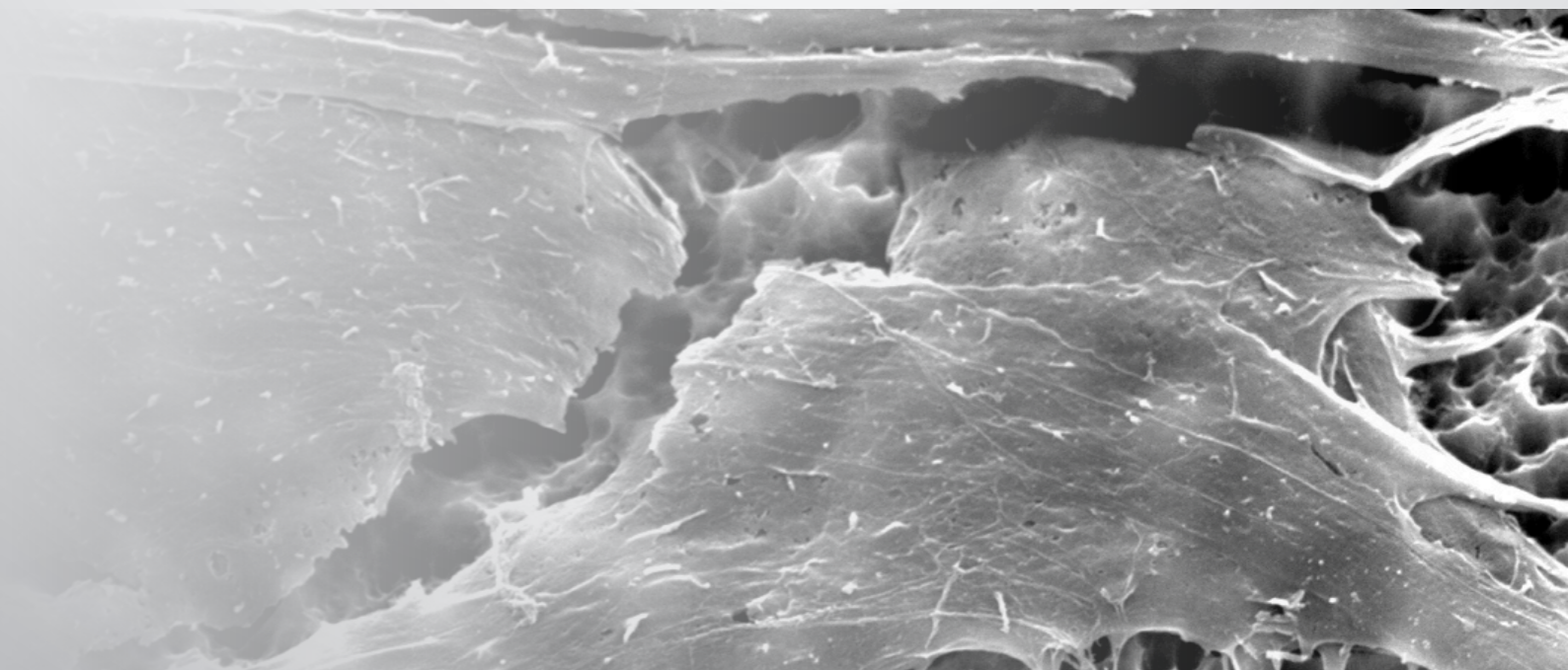
Nano hydroxyapatite-coated implants improve bone nanomechanical properties.

Jimbo R, Coelho PG, Bryington M, Baldassarri M, Tovar N, Currie F, Hayashi M, Janal MN, Andersson M, Ono D, Vandeweghe S, Wennerberg

A.J Dent Res. 2012;91(12):1172-7



Microscopía electrónica de barrido que demuestra la presencia de células osteoblásticas en la superficie del HAnano®. Cortesía: Cavalcanti, JH. Tanaka, M. Bezerra, FJ. CBPF RJ.

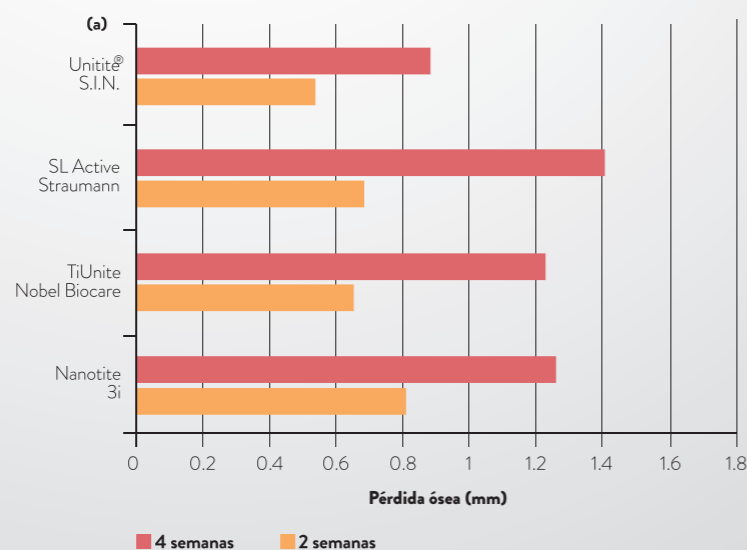


EXCELENCIA DE LA LÍNEA UNITITE®



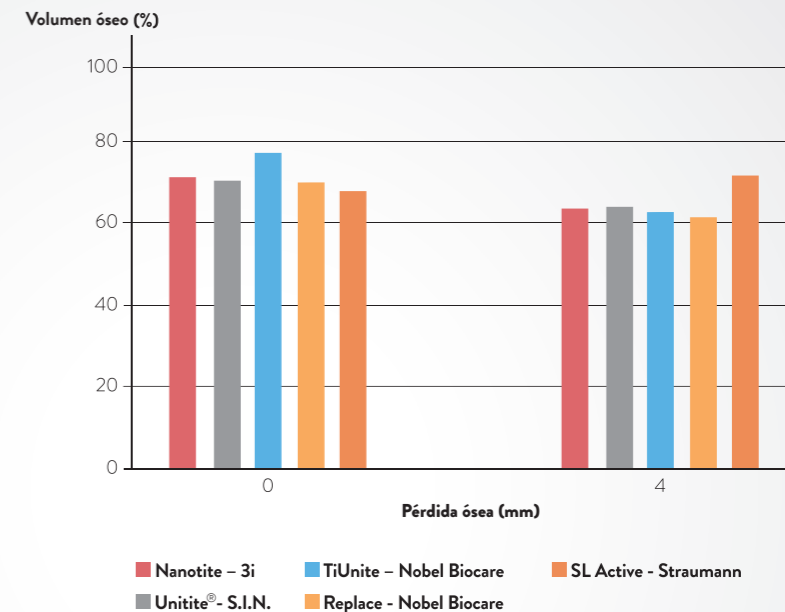
Unitite® se ha desarrollado basándose en 10 años de estudio en las mejores universidades del mundo, lo que permite demostrar su eficacia a través de resultados clínicos y científicos.

En este gráfico podemos observar los resultados superiores de Unitite®, en relación con la pérdida ósea marginal realizada en un estudio con animales. En este caso, podemos ver que Unitite®, en comparación con los implantes SL Active (Straumann), TiUnite (Nobel Biocare) y Nanotite (Biomet 3i), presenta una menor pérdida ósea a las dos y cuatro semanas de la colocación del implante.



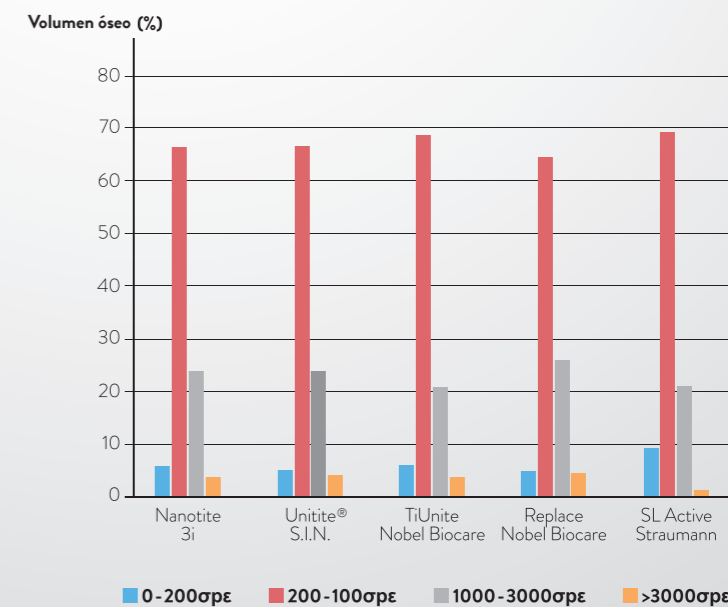
Fuente: modificado de Bonfante y colaboradores.

En el análisis de elementos finitos, Unitite® mostró excelentes resultados en el mantenimiento del nivel óseo.



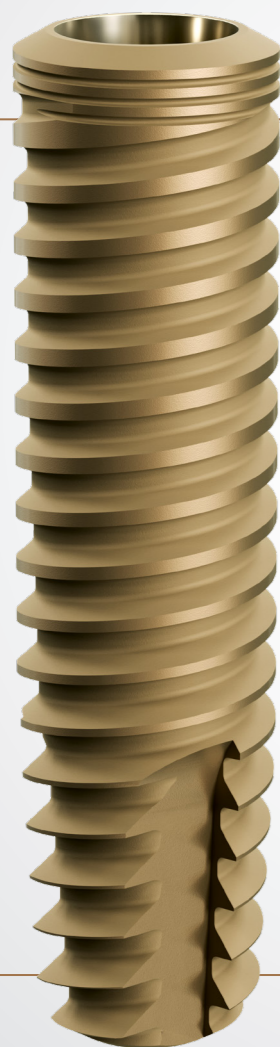
Fuente: modificado de Shunmugasamy y colaboradores.

Al analizar los resultados del gráfico a la derecha, comprobamos que la disipación de fuerzas en el tejido óseo de Unitite® es compatible con las principales marcas de implantes dentales del mercado.



Fuente: modificado de Shunmugasamy y colaboradores.

UNITITE® SLIM



UNITITE® SLIM

INDICACIONES DE USO CLÍNICO:

- > 2,9 – Incisivos laterales (superior e inferior) y Centrales inferiores..

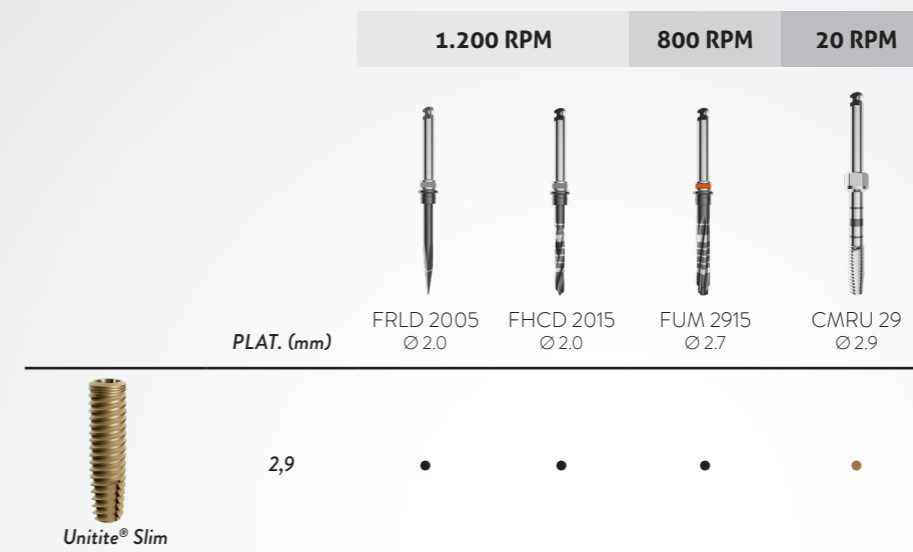
- Múltiples posibilidades: Con tres tipos de longitudes, Unitite® Slim ofrece más opciones para su planificación quirúrgica.
- Solo 2,9 mm de diámetro: Unitite® Slim se ha desarrollado para brindar más comodidad a las rehabilitaciones en zonas estrechas y en espacios interdientales limitados, así como en las regiones de los incisivos laterales superiores e incisivos inferiores.
- Más seguridad: Gracias a sus reducidas dimensiones, Unitite® Slim protege las estructuras bucales vitales y la vascularización.
- Sistema Cono Morse: Superioridad biomecánica de los acoplamientos protésicos a través de un ángulo interno de 3 grados.
- Titanio GRADO 4 Cold Worked: Hecho de material biocompatible, con alta resistencia a la tracción y estabilidad mecánica a largo plazo, en comparación con el titanio de grado 4 convencional.

- > Indicado para todos los tipos óseos.
- > **Colocación Intraósea de 1,5 mm.**
- > Rotación de las primeras fresas: 1200 rpm.
- > Rotación de la fresa de 2,7 mm: 800 rpm.
- > Rotación del macho de rosca de 2,9 mm: 20 rpm*.
- > Rotación de inserción: 20 a 40 rpm.
- > **Torque máximo: 45 N.cm.**
- > Incluye una tapa de implante de 2,0 mm.
- > Indicado para carga tardía: A partir de los 60 días.

*En huesos de tipo I y II es necesario utilizar el macho de rosca a fin de garantizar el proceso de cicatrización.

SECUENCIA DE FRESADO

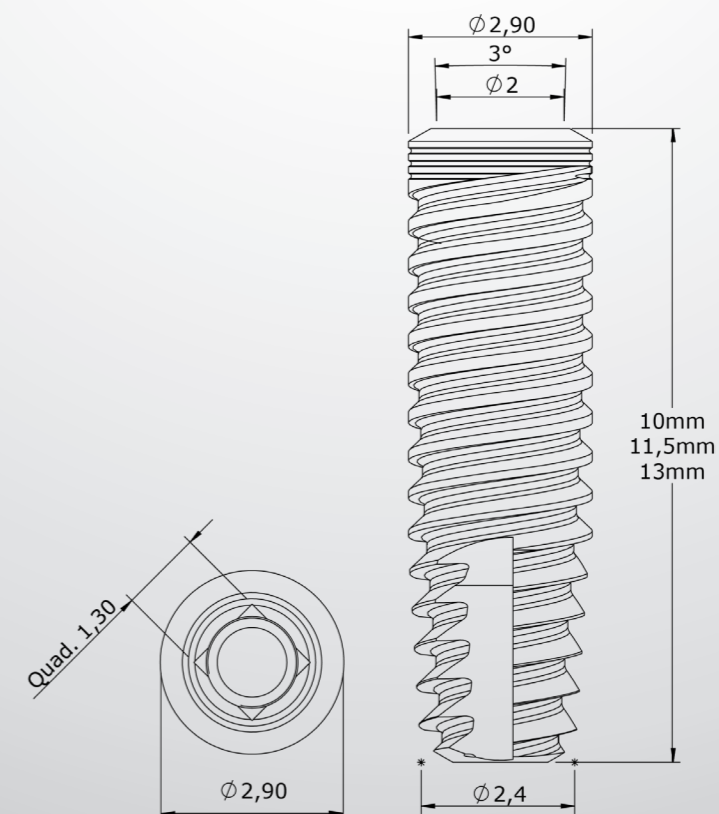
Vea el vídeo con el paso a paso de esta secuencia protésica a través del código QR.



- *En huesos de tipo I y II es necesario utilizar el macho de rosca a fin de garantizar el proceso de cicatrización.

MEDIDAS TÉCNICAS


UCMS 29xxN




SECUENCIA PROTÉSICA UNITITE® SLIM

SECUENCIA PILAR UNIVERSAL (ANALÓGICO Y DIGITAL)


Unitaria cementada




IMPLANTE		
CÓD.	DIÁM. (mm)	ALT. (mm)
UCMS 2910N	2.9	10.0
UCMS 2911N	2.9	11.5
UCMS 2913N	2.9	13.0




CICATRIZADORES DE TITANIO		
CÓD.	DIÁM. (mm)	ALT. (mm)
CIMUS 3315	3.3	1.5
CIMUS 3325	3.3	2.5
CIMUS 3335	3.3	3.5
CIMUS 3345	3.3	4.5




CICATRIZADORES DE PEEK		
CÓD.	DIÁM DEL PERFIL (mm)	ALT. (mm)
CPUS 0404	4.0	4.0
CPUS 0408	4.0	8.0




PILAR UNIVERSAL			
CÓD.	DIÁM. (mm)	ALT. DE TRANSMUCOSO (mm)	ALT. DE CEMENTACIÓN (mm)
AISITS 334008	3.3	0.8	4.0
AISITS 334015	3.3	1.5	4.0
AISITS 334025	3.3	2.5	4.0
AISITS 334035	3.3	3.5	4.0
AISITS 334045	3.3	4.5	4.0
AISITS 334055	3.3	5.5	4.0
AISITS 336008	3.3	0.8	6.0
AISITS 336015	3.3	1.5	6.0
AISITS 336025	3.3	2.5	6.0
AISITS 336035	3.3	3.5	6.0
AISITS 336045	3.3	4.5	6.0
AISITS 336055	3.3	5.5	6.0




TRANSFER EN POLIACETAL		
CÓD.	DIÁM. (mm)	ALT. (mm)
TSIT 3340	3.3	4.0
TSIT 3360	3.3	6.0




ANÁLOGO		
CÓD.	DIÁM. (mm)	ALT. (mm)
ASIT 3340	3.3	4.0
ASIT 3360	3.3	6.0




CILINDRO PROVISIONAL EN ACRÍLICO		
CÓD.	DIÁM. (mm)	ALT. (mm)
CPSIT 3340	3.3	4.0
CPSIT 3360	3.3	6.0



CILINDRO CALCINABLE EN POLIACETAL		
CÓD.	DIÁM. (mm)	ALT. (mm)
CCSIT 3340	3.3	4.0
CCSIT 3360	3.3	6.0



JIG DE ESCANEO PILAR UNIVERSAL		
CÓD.	DIÁM. (mm)	ALT. (mm)
JBSIT 3340	3.3	4.0
JBSIT 3360	3.3	6.0
JBSIT 4540	4.5	4.0
JBSIT 4560	4.5	6.0



ANÁLOGO DIGITAL PILAR UNIVERSAL		
CÓD.	DIÁM. (mm)	ALT. (mm)
ADUA 3340	3.3	4.0
ADUA 3360	3.3	6.0
ADUA 4540	4.5	4.0
ADUA 4560	4.5	6.0

UNITITE SLIM

LLAVES

1



Llave Contra Ángulo Hex. 1.2mm Corta (CTH 1220)



Llave Contra Ángulo Hex. 1.2mm Mediana (CTH 1224)



Llave Contra Ángulo Hex. 1.2mm Larga (CTH 1230)





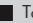


Llave de Catraca Hex. 1.2mm Corta (CDHC 20)



Llave de Catraca Hex. 1.2mm Mediana (CDHC 24)

Para la instalación y extracción de los cicatrizadores de PEEK compatibles con Unitite® Slim, es necesario comprar las llaves CICS e CRCS por separado.

*Verifique la disponibilidad del producto en su país.


- Secuencia analógica
- Secuencia digital
-  Tornillo hexagonal
-  Componente antirrotacional
-  Tornillo cuadrado
-  Tornillo de pilar
-  Componente rotacional

SECUENCIA PROTÉSICA UNITITE® SLIM

MICRO MINI PILAR - INTERMEDIARIO PROTÉSICO ATORNILLADO


(ANALÓGICO Y DIGITAL)

Unitario, múltiple parcial o total atornillado




IMPLANTE

CÓD.	DIÁM. (mm)	ALT. (mm)
UCMS 2910N	2.9	10.0
UCMS 2911N	2.9	11.5
UCMS 2913N	2.9	13.0



CICATRIZADORES DE TITANIO

CÓD.	DIÁM. (mm)	ALT. (mm)
CIMUS 3315	3.3	1.5
CIMUS 3325	3.3	2.5
CIMUS 3335	3.3	3.5
CIMUS 3345	3.3	4.5



CICATRIZADORES DE PEEK

CÓD.	DIÁM DEL PERFIL (mm)	ALT. (mm)
CPUS 0404	4.0	4.0
CPUS 0408	4.0	8.0



MICRO MINI PILAR

CÓD. RETO	DIÁM. (mm)	ALT. DE TRANSMUCOSO (mm)
MMAMS 3315	3.5	1.5
MMAMS 3325	3.5	2.5
MMAMS 3335	3.5	3.5



PROTECTOR DE PILAR

CÓD.
PMM 33

LLAVES



Llave Contra Ángulo Hex. 1.2mm Corta (CTH 1220)



Llave Catraca Hex. 1.2mm Corta (CDHC 20)



Llave Contra Ángulo Hex. 1.2mm Media (CTH 1224)



Llave Catraca Hex. 1.2mm Media (CDHC 24)



Llave Contra Ángulo Hex. 1.2mm Larga (CTH 1230)



Llave Catraca P/ Abutment Corto (CDAC 20)



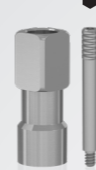
Llave Contra Ángulo P/ Abutment Media (CTA 1224)



Llave Catraca P/ Abutment Medio (CDAC 24)


Para la instalación y extracción de los cicatrizadores de PEEK compatibles con Unitite® Slim, es necesario comprar las llaves CICS e CRCS por separado.

*Verifique la disponibilidad del producto en su país.



TRANSFER DE CUBETA ABIERTA

CÓD.
TMM 33
TMM 3306




TRANSFER DE CUBETA CERRADA

CÓD.
TMMF 33
TMMF 3306


ANÁLOGO

CÓD.
AMMA 33




CILINDRO PROVISIONAL DE TITANIO

CÓD.
CPMT 33
CPMT 3306




CILINDRO CALCINABLE CR-CO

CÓD.	
CPMC 33	Plástico
CPMM 33	Cromo Cobalto
CPMC 3306	Plástico
CPMM 3306	Cromo Cobalto



JIG DE ESCANEO MICRO MINI PILAR

CÓD.
JBMMMA
JBMMMA06




JIG DE ESCANEO MICRO MINI PILAR

CÓD.
JBMMAC
JBMMMA 06C


ANÁLOGO DIGITAL MICRO MINI PILAR

CÓD.
ADMMA




INTERFAZ TITANIO MICRO MINI PILAR

CÓD.	ALT. (mm)
IMMAT 04	4,0
IMMAT 06	6,0
IMMAT 0406	4,0
IMMAT 0606	6,0




INTERFAZ CROMO MICRO MINI PILAR

CÓD.	ALT. (mm)
IMMAC 04	4,0
IMMAC 06	6,0
IMMAC 0406	4,0
IMMAC 0606	6,0



TORNILLO DE LABORATORIO

CÓDIGO	
PTMMA 14	1.4



TORNILLO DE RETENCIÓN

CÓDIGO	
PRH 3035	1.4

PROTECTOR DE PULIDO

CÓD.
PPMM 33
PPMM 3306

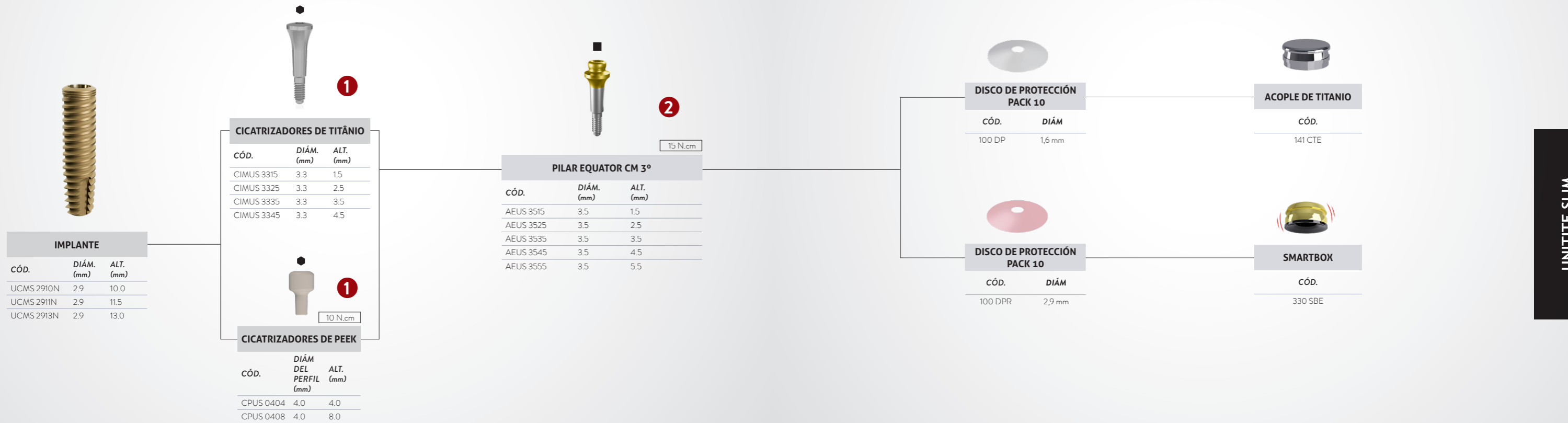
— Secuencia analógica
— Secuencia digital

- Tornillo hexagonal
- ⊙ Componente antirrotacional
- Tornillo cuadrado
- ⊞ Tornillo de pilar
- ⊙ Componente rotacional

UNITITE SLIM

SECUENCIA PROTÉSICA UNITITE® SLIM

OVERDENTURE - EQUATOR



UNITITE SLIM

LLAVES

1

	Llave Contra Ángulo Hex. 1.2mm Corta (CTH 1220)		Llave de Catraca Hex. 1.2mm Corta (CDHC 20)
	Llave Contra Ángulo Hex. 1.2mm Mediana (CTH 1224)		Llave de Catraca Hex. 1.2mm Media (CDHC 24)
	Llave Contra Ángulo Hex. 1.2mm Larga (CTH 1230)		

2

	Llave de Torque Cuadrada 20,0mm (CTQ 20)		Llave Cuadrada 1,3x20mm (CQTM 20)
	Llave de Torque Cuadrada 24,0mm (CTQ 24)		Llave Cuadrada 1,3x24mm (CQTM 24)
	Llave de Torque Cuadrada 30,0mm (CTQ 30)		

CÁPSULA AMARILLA	CÁPSULA ROSA	CÁPSULA TRANSPARENTE	CÁPSULA VIOLETA	CÁPSULA NEGRA
CÓD. 140 CEG	CÓD. 140 CER	CÓD. 140 CET	CÓD. 140 CEV	CÓD. 140 CEN
Retención extra suave (0,6 kg)	Retención suave (1,2 kg)	Retención estándar (1,8 kg)	Retención fuerte (2,7 kg)	Cápsula de trabajo

CÓD.	CÁPSULA	CARACTERÍSTICA
CCE 01	Pack de cápsulas	compuesto por 1 unidad del artículo 140 CEV; 1 unidad del artículo 140 CEN y 2 unidades del artículo 140 CET
485 IC	Clave para inserción y extracción de cápsulas de retención	

- Secuencia analógica
- Secuencia digital
- Tornillo hexagonal
- Componente antirrotacional
- Tornillo cuadrado
- Tornillo de pilar
- Componente rotacional

*Verifique la disponibilidad del producto en su país.

UNITITE® COMPACT



UNITITE® COMPACT

INDICACIONES DE USO CLÍNICO:

- 4,0 - Caninos, premolares y molares
- 5,0 - Molares
- 6,0 - Molares

- La línea Unitite® Compact está altamente recomendada para situaciones de disponibilidad ósea vertical reducida en el maxilar y la mandíbula.
- Diversidad de tamaños: La línea Unitite® Compact cuenta con tres longitudes y diámetros diferentes que permiten una mayor versatilidad quirúrgica.
- Minimiza o elimina la necesidad de realizar cirugías complejas para el aumento de hueso.
- Alto rendimiento: Con un conjunto de características exclusivas, la línea Unitite® Compact proporciona una gran estabilidad y previsibilidad de resultados en casos con altura ósea reducida.
- Versatilidad protésica: Permite la realización de prótesis cementadas o atornilladas simples y múltiples.
- Plataforma Cono Morse: Posee un ángulo interno de 4 grados que permite una excelente estabilidad protésica y favorece la longevidad del implante.

- > Indicado para todos los tipos óseos
- > Colocación a nivel óseo.
- > Rotación de las primeras fresas: 1200 rpm
- > Rotación de las fresas de 2,7 a 5,8 mm: 800 rpm
- > Rotación de los machos de rosca de 4.0 a 6.0 mm: 20 rpm*
- > Rotación de inserción: 20 a 40 rpm
- > Torque máximo: 60 N.cm.
- > Incluye una tapa de implante.
- > Indicación para la carga tardía: A partir de los 60 días.

* Es necesario utilizar el macho de rosca en huesos de tipo I y II, para garantizar el proceso de cicatrización.

SECUENCIA DE FRESADO

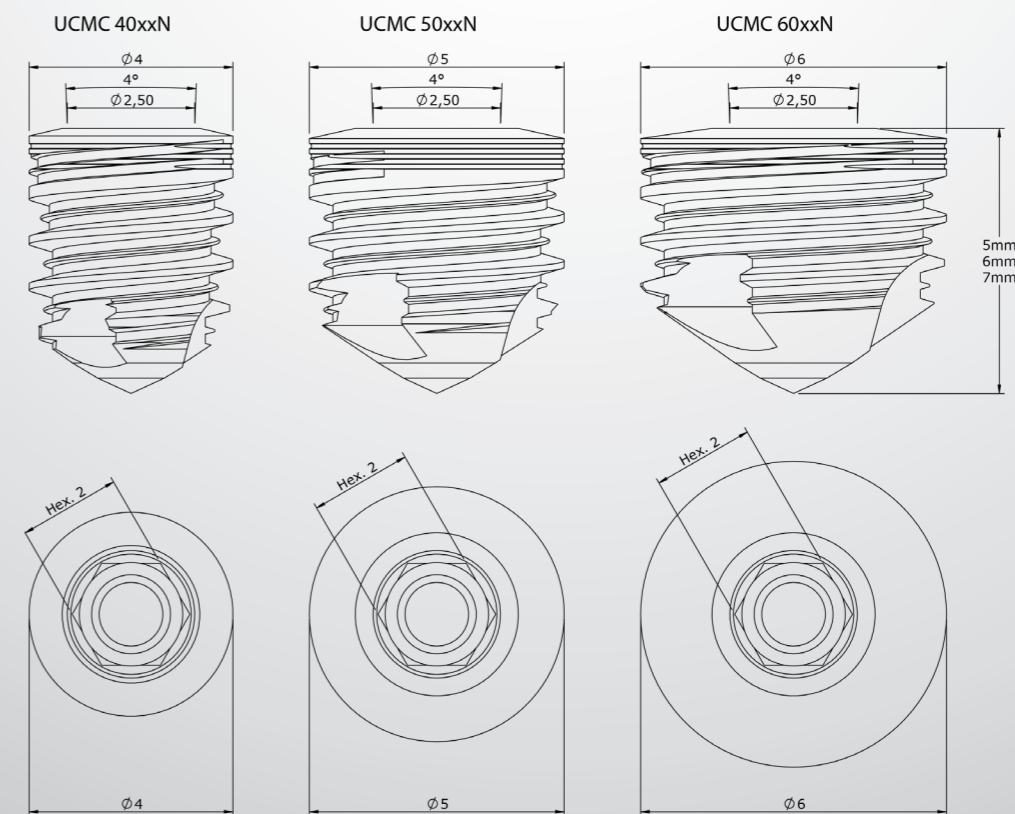
Vea el vídeo con el paso a paso de esta secuencia protésica a través del código QR.



	1.200 RPM	800 RPM								20 RPM			
PLAT. (mm)	FRLD 2005 Ø 2.0	FHCD 2015 Ø 2.0	FUM 2915 Ø 2.7	FUM 3515 Ø 3.3	FPUC 3338 Ø 3,3/Ø3,8	FHCD 3215 Ø 3.8	FPUC 3848 Ø 3,8/Ø4,8	FHCD 4215 Ø 4.8	FPUC 4858 Ø 4,8/Ø5,0	FHCD 5215 Ø 5.8	CMRUC 40 Ø 4.0	CMRUC 50 Ø 5.0	CMRUC 60 Ø 6.0
	•	•	•	•	•	•					•		
	•	•	•	•	•	•	•	•				•	
	•	•	•	•	•	•	•	•	•	•			•

- Es necesario utilizar el macho de rosca en huesos de tipo I y II, para garantizar el proceso de cicatrización.

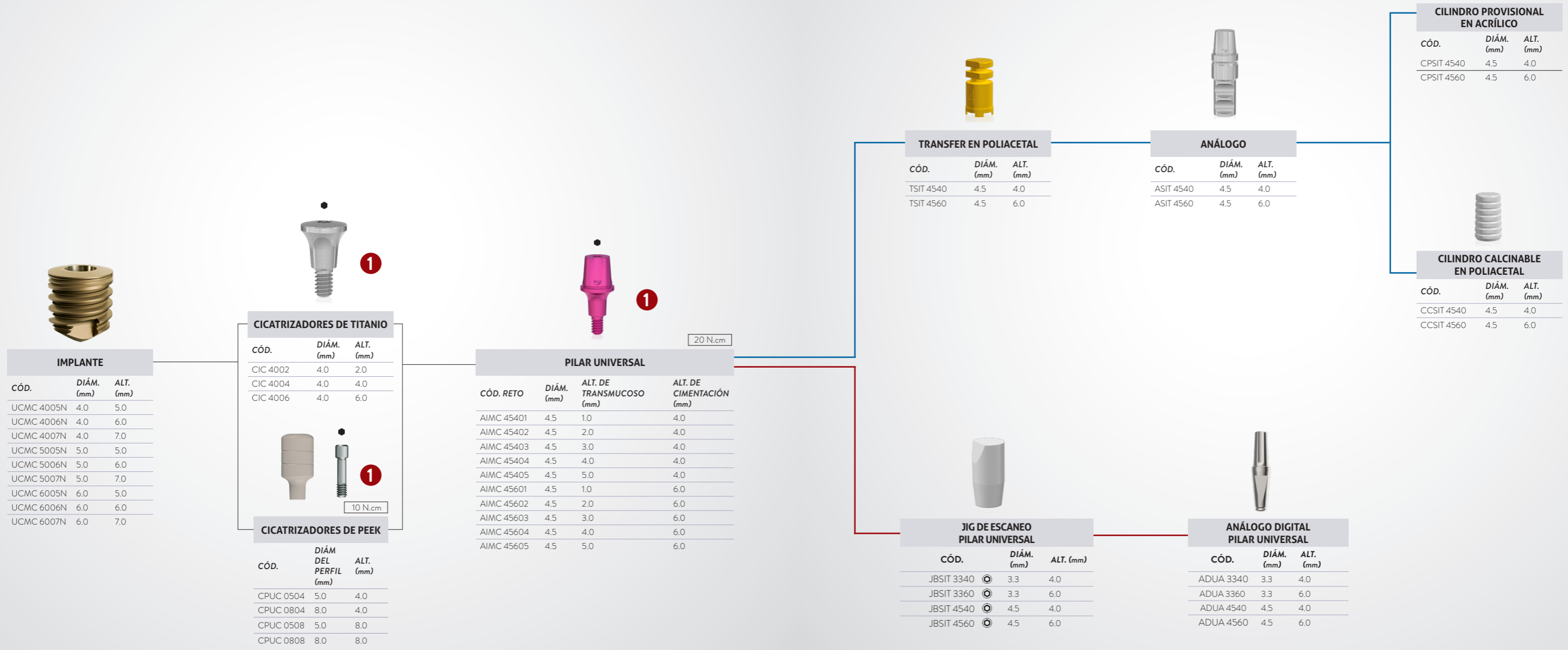
MEDIDAS TÉCNICAS



SECUENCIA PROTÉSICA UNITITE® COMPACT

PILAR UNIVERSAL - SECUENCIA CON INTERMEDIARIO PROTÉSICO (ANALÓGICO Y DIGITAL)

Unitaria cementada



LLAVES



*Verifique la disponibilidad del producto en su país.

- Secuencia analógica
- Secuencia digital
- Tornillo hexagonal
- ⊙ Componente antirrotacional
- Tornillo cuadrado
- ⬭ Tornillo de pilar
- ⊙ Componente rotacional

SECUENCIA PROTÉSICA UNITITE® COMPACT

MINI PILAR - SECUENCIA CON INTERMEDIARIO PROTÉSICO (ANALÓGICO Y DIGITAL)

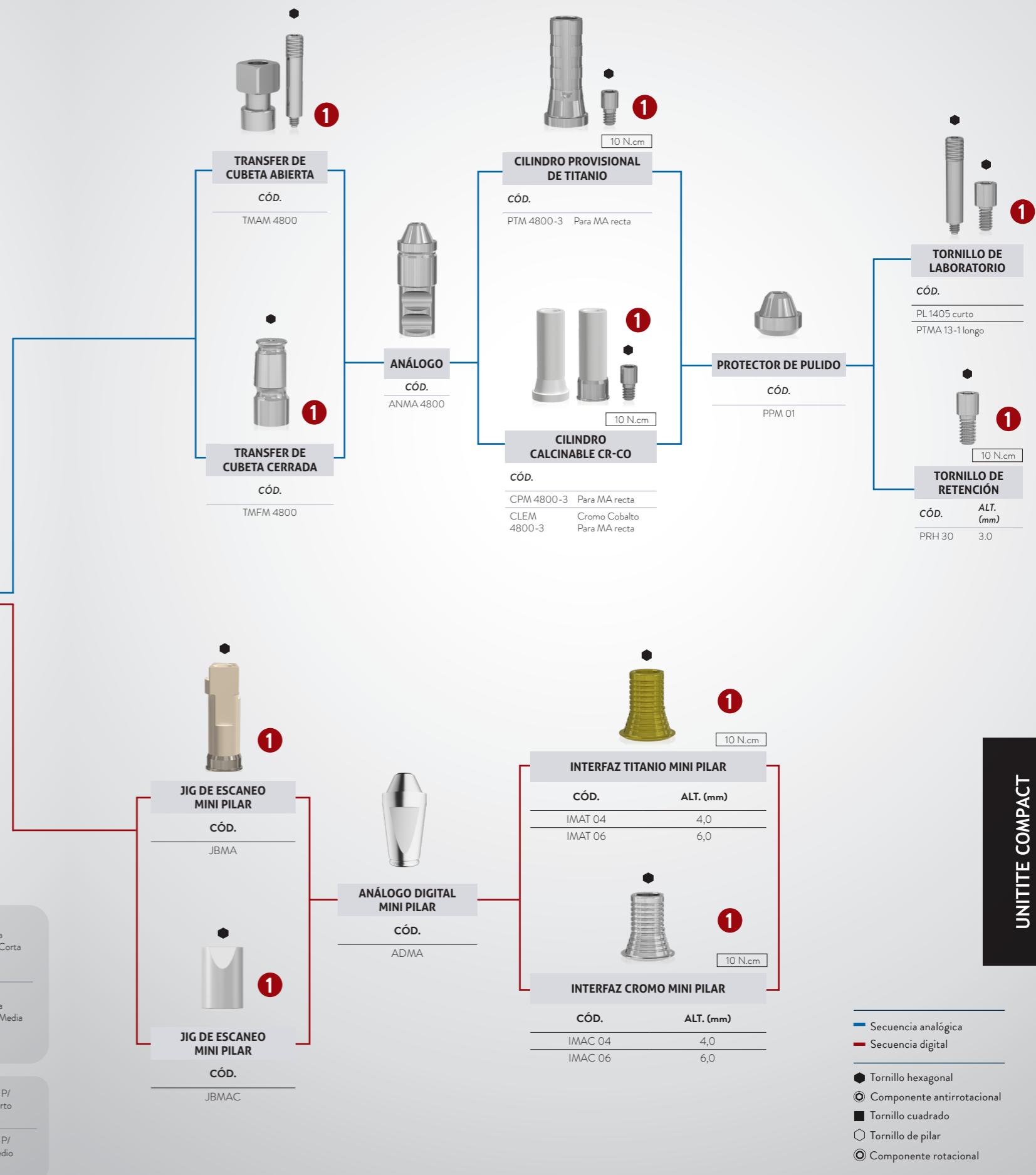
Múltiple parcial o total atornillado

IMPLANTE			MINI PILAR		
CÓD.	DIÁM. (mm)	ALT. (mm)	CÓD.	DIÁM. (mm)	ALT. DE TRANSMUCOSO (mm)
UCMC 4005N	4.0	5.0	MAC 4801	4.8	1.0
UCMC 4006N	4.0	6.0	MAC 4802	4.8	2.0
UCMC 4007N	4.0	7.0	MAC 4803	4.8	3.0
UCMC 5005N	5.0	5.0	MAC 4804	4.8	4.0
UCMC 5006N	5.0	6.0	MAC 4805	4.8	5.0
UCMC 5007N	5.0	7.0			
UCMC 6005N	6.0	5.0			
UCMC 6006N	6.0	6.0			
UCMC 6007N	6.0	7.0			

LLAVES

	Llave Contra Ángulo Hex. 1.2mm Corta (CTH 1220)		Llave Catraca Hex. 1.2mm Corta (CDHC 20)
	Llave Contra Ángulo Hex. 1.2mm Media (CTH 1224)		Llave Catraca Hex. 1.2mm Media (CDHC 24)
	Llave Contra Ángulo Hex. 1.2mm Larga (CTH 1230)		Llave Catraca P/ Abutment Corto (CDAC 20)
	Llave Contra Ángulo P/ Abutment Media (CTA 1224)		Llave Catraca P/ Abutment Medio (CDAC 24)

*Verifique la disponibilidad del producto en su país.



- Secuencia analógica
- Secuencia digital
- Tornillo hexagonal
- ⊙ Componente antirrotacional
- Tornillo cuadrado
- ⊕ Tornillo de pilar
- ⊙ Componente rotacional


UNITITE COMPACT

SECUENCIA PROTÉSICA UNITITE® COMPACT

ABUTMENT MULTIFUNCIONAL - SECUENCIA CON INTERMEDIARIO PROTÉSICO

(ANALÓGICO Y DIGITAL)

Unitaria, Múltiple Parcial o Total Atornillada



IMPLANTE		
CÓD.	DIÁM. (mm)	ALT. (mm)
UCMC 4005N	4,0	5,0
UCMC 4006N	4,0	6,0
UCMC 4007N	4,0	7,0
UCMC 5005N	5,0	5,0
UCMC 5006N	5,0	6,0
UCMC 5007N	5,0	7,0
UCMC 6005N	6,0	5,0
UCMC 6006N	6,0	6,0
UCMC 6007N	6,0	7,0





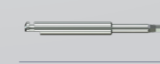
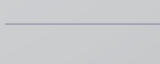



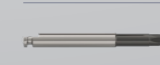
ABUTMENT MULTIFUNCIONAL		
CÓD.	DIÁM. (mm)	ALT. DE TRANSMUCOSO (mm)
AMCMC 4801	4,8	1,0
AMCMC 4802	4,8	2,0
AMCMC 4803	4,8	3,0
AMCMC 4804	4,8	4,0
AMCMC 4805	4,8	5,0

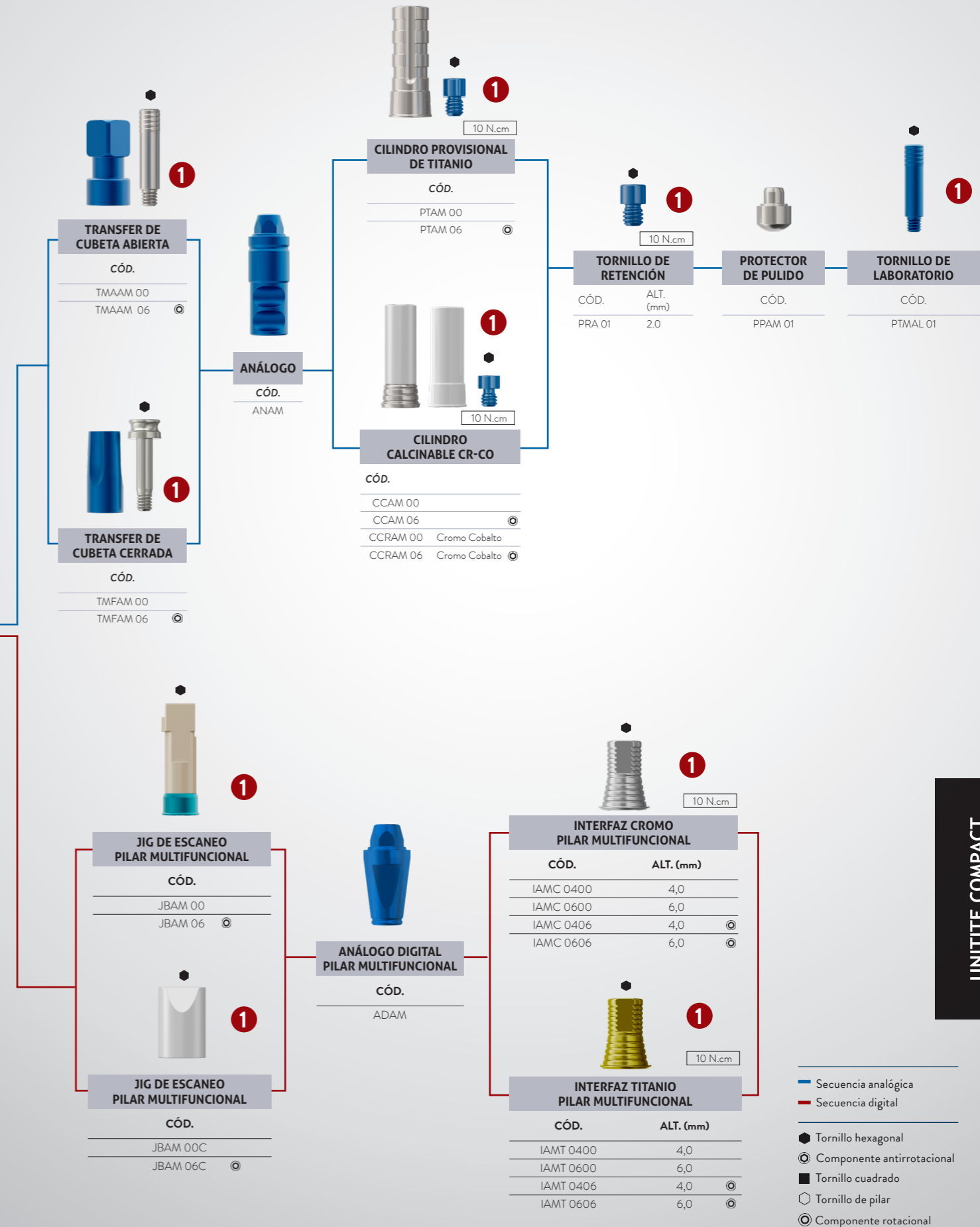
Utilizar llave hexagonal del kit protésico de 1,6 mm



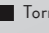
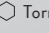



PROTECTOR DE PILAR	
CÓD.	
PAM 48	

LLAVES

	Llave Contra Ángulo Hex. 1.2mm Corta (CTH 1220)		Llave Catraca Hex. 1.2mm Corta (CDHC 20)
	Llave Contra Ángulo Hex. 1.2mm Media (CTH 1224)		Llave Catraca Hex. 1.2mm Media (CDHC 24)
	Llave Contra Ángulo Hex. 1.2mm Larga (CTH 1230)		Llave Catraca Hex. 1.6mm Corta (CCH 1620)
	Llave de Contra-ángulo Hex. 1.6mm Corta (CTH 1620)		Llave de Carraca Hex. 1.6mm Mediana (CCH 1624)
	Llave de Contra-ángulo Hex. 1.6mm Mediana (CTH 1624)		Llave de Carraca Hex. 1.6mm Mediana (CCH 1624)




- Secuencia analógica
- Secuencia digital
-  Tornillo hexagonal
-  Componente antirrotacional
-  Tornillo cuadrado
-  Tornillo de pilar
-  Componente rotacional


UNITITE COMPACT

SECUENCIA PROTÉSICA UNITITE® COMPACT


OVERDENTURE - EQUATOR



IMPLANTE		
CÓD.	DIÁM. (mm)	ALT. (mm)
UCMC 4005N	4,0	5,0
UCMC 4006N	4,0	6,0
UCMC 4007N	4,0	7,0
UCMC 5005N	5,0	5,0
UCMC 5006N	5,0	6,0
UCMC 5007N	5,0	7,0
UCMC 6005N	6,0	5,0
UCMC 6006N	6,0	6,0
UCMC 6007N	6,0	7,0



CICATRIZADORES DE TITANIO		
CÓD.	DIÁM. (mm)	ALT. (mm)
CIC 4002	4,0	2,0
CIC 4004	4,0	4,0
CIC 4006	4,0	6,0



CICATRIZADORES DE PEEK		
CÓD.	DIÁM DEL PERFIL (mm)	ALT. (mm)
CPUC 0504	5,0	4,0
CPUC 0804	8,0	4,0
CPUC 0508	5,0	8,0
CPUC 0808	8,0	8,0

CÓD.	DIÁM. (mm)	ALT. (mm)
UCMC 4005N	4,0	5,0
UCMC 4006N	4,0	6,0
UCMC 4007N	4,0	7,0
UCMC 5005N	5,0	5,0
UCMC 5006N	5,0	6,0
UCMC 5007N	5,0	7,0
UCMC 6005N	6,0	5,0
UCMC 6006N	6,0	6,0
UCMC 6007N	6,0	7,0



PILAR EQUATOR CM 4°		
CÓD.	DIÁM. (mm)	ALT. (mm)
AEUC 4001	4,0	1,0
AEUC 4002	4,0	2,0
AEUC 4003	4,0	3,0
AEUC 4004	4,0	4,0
AEUC 4005	4,0	5,0
AEUC 4006	4,0	6,0

15 N.cm



DISCO DE PROTECCIÓN PACK 10	
CÓD.	DIÁM
100 DP	1,6 mm



DISCO DE PROTECCIÓN PACK 10	
CÓD.	DIÁM
100 DPR	2,9 mm



ACOPLE DE TITANIO	
CÓD.	
141 CTE	



SMARTBOX	
CÓD.	
330 SBE	

LLAVES

	Llave Contra Ángulo Hex. 1.2mm Corta (CTH 1220)		Llave de Catraca Hex. 1.2mm Corta (CDHC 20)
	Llave Contra Ángulo Hex. 1.2mm Mediana (CTH 1224)		Llave de Catraca Hex. 1.2mm Media (CDHC 24)
	Llave Contra Ángulo Hex. 1.2mm Larga (CTH 1230)		Llave Cuadrada 1,3x20mm (CQTM 20)
	Llave de Torque Cuadrada 24,0mm (CTQ 24)		Llave Cuadrada 1,3x24mm (CQTM 24)
	Llave de Torque Cuadrada 30,0mm (CTQ 30)		

CÓD.	CÁPSULA AMARILLA	CÓD.	CÁPSULA ROSA	CÓD.	CÁPSULA TRANSPARENTE	CÓD.	CÁPSULA VIOLETA	CÓD.	CÁPSULA NEGRA
140 CEG	Retención extra suave (0,6 kg)	140 CER	Retención suave (1,2 kg)	140 CET	Retención estándar (1,8 kg)	140 CEV	Retención fuerte (2,7 kg)	140 CEN	Cápsula de trabajo

CÓD.	CÁPSULA AMARILLA	CÓD.	CÁPSULA ROSA	CÓD.	CÁPSULA TRANSPARENTE	CÓD.	CÁPSULA VIOLETA	CÓD.	CÁPSULA NEGRA
CCE 01	Pack de cápsulas (compuesto por 1 unidad del artículo 140 CEV; 1 unidad del artículo 140 CEN y 2 unidades del artículo 140 CET)								

CÓD.	CLAVE PARA CÁPSULAS
485 IC	Clave para inserción y extracción de cápsulas de retención

- Secuencia analógica
- Secuencia digital
- Tornillo hexagonal
- ⊙ Componente antirrotacional
- Tornillo cuadrado
- ⊞ Tornillo de pilar
- ⊙ Componente rotacional

*Verifique la disponibilidad del producto en su país.

UNITITE COMPACT

KIT QUIRÚRGICO UNITITE®

UN SOLO KIT PARA TODA LA LÍNEA UNITITE®

Para que su rutina diaria sea aún más práctica y eficiente, hemos desarrollado un único kit quirúrgico Unitite® para la colocación de la línea completa: Unitite® Slim y Compact.

Fresas exclusivas con DLC (Diamond Like Carbon):

- › Menos calentamiento del hueso.
- › Mayor durabilidad.
- › Alto poder de corte.
- › Un ángulo más afilado.

Las Fresas Piloto apoyan en la secuencia de fresado con mayor estabilidad en los pasos quirúrgicos.

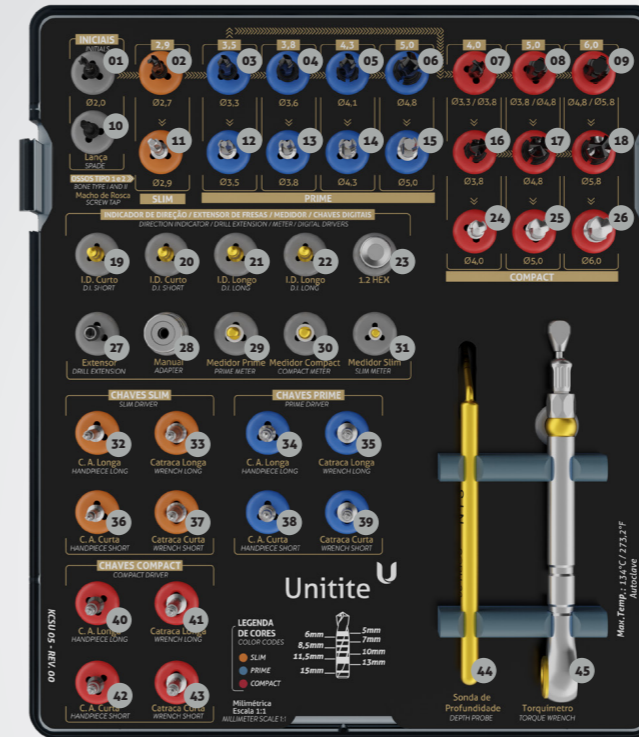
Bajo numeros de fresas necesarias.

Medidores de Transmucosa: Disponibles para toda la línea Unitite, ayudan en la medición y elección de los componentes protésicos.

Fijación total: Las llaves no se mueven, independiente de la posición.

Facilidad de uso clínico gracias a su codificación de colores.

Formato compacto que facilita la esterilización en autoclaves de menor tamaño.



- | | | |
|--|--|---|
| 01 TWIST DRILL Ø2,0X15MM (FHCD 2015) | 17 TWIST DRILL Ø4,25X15MM (FHCD 4215) | 33 LONG SLIM WRENCH DRIVER (CCUS 24) |
| 02 DRILL UNITITE Ø2,6X15MM (FLUM 2915) | 18 TWIST DRILL Ø5,25X15MM (FHCD 5215) | 34 LONG MORSE HANDPIECE DRIVER (CTUM 24) |
| 03 DRILL UNITITE Ø3,0X15MM (FLUM 3015) | 19 SHORT DIRECTION INDICATOR (DU 100) | 35 LONG MORSE TAPER WRENCH DRIVER (CCUM 24) |
| 04 DRILL MORSE UNITITE Ø3,8X15MM (FLUM 3815) | 20 SHORT DIRECTION INDICATOR (DU 100) | 36 SHORT SLIM HANDPIECE DRIVER (CTUS 20) |
| 05 DRILL MORSE UNITITE Ø3,8X15MM (FLUM 4315) | 21 LONG DIRECTION INDICATOR (DU 200) | 37 SHORT SLIM WRENCH DRIVER (CCUS 20) |
| 06 DRILL UNITITE Ø4,5X15MM (FLUM 5015) | 22 LONG DIRECTION INDICATOR (DU 200) | 38 SHORT MORSE HANDPIECE DRIVER (CTUM 20) |
| 07 PILOT DRILL Ø3,3/Ø3,8MM (FLUC 3338) | 23 1.2 HEX DRIVER (CDH 1224) | 39 SHORT MORSE WRENCH DRIVER (CCUM 20) |
| 08 PILOT DRILL Ø3,8/Ø4,8MM (FDUC 3848) | 24 SCREW TAP - COMPACT Ø4,0MM (CMRUC 40) | 40 LONG COMPACT HANDPIECE DRIVER (CTUC 24) |
| 09 PILOT DRILL Ø4,8/Ø5,8MM (FLUC 4858) | 25 SCREW TAP - COMPACT Ø5,0MM (CMRUC 50) | 41 LONG COMPACT WRENCH DRIVER (CCUC 24) |
| 10 DRILL SPADE Ø2,0MM (FRLD 2002) | 26 SCREW TAP - COMPACT Ø6,0MM (CMRUC 60) | 42 SHORT COMPACT HANDPIECE DRIVER (CTUC 20) |
| 11 SCREW TAP Ø2,9MM (CMRU 29) | 27 DRILL EXTENSION 16,0MM (EXP1) | 43 SHORT COMPACT WRENCH DRIVER (CCUC 20) |
| 12 SCREW TAP Ø3,5MM (CMRU 35) | 28 ADAPTER DRIVER (LGD 01) | 44 DEPTH PROBE (ESPU 25) |
| 13 SCREW TAP Ø5,0MM (CMRU 50) | 29 MORSE TAPER PRIME TRANSMUCOSAL METER (MTM 02) | 45 SURGICAL TORQUE WRENCH (MECC 03) |
| 14 SCREW TAP Ø4,3MM (CMRU 43) | 30 COMPACT TRANSMUCOSAL METER (MTMC 02) | |
| 15 SCREW TAP Ø5,0MM (CMRU 50) | 31 SLIM TRANSMUCOSAL METER (MTMS 02) | |
| 16 TWIST DRILL Ø3,2X15MM (FHCD 3215) | 32 LONG SLIM HANDPIECE DRIVER (CTUS 24) | |

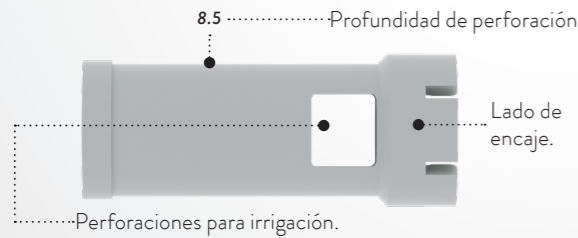
CÓDIGO DEL PRODUCTO: KCSU 05
CÓDIGO DE LA CAJA ORGANIZADORA: COSU 03

*Verifique la disponibilidad del producto en su país.

LA COLOCACIÓN DE LOS IMPLANTES DE LA LÍNEA UNITITE® DEBE REALIZARSE EXCLUSIVAMENTE CON EL KIT QUIRÚRGICO UNITITE®. EVITE EL SUBFRESADO.

KIT SAFE DRILL UNITITE®

TORNANDO SUS CIRUGIAS MÁS SIMPLE Y PRÁCTICAS



Escanee para ver el paso a paso acerca de cómo utilizar el Kit Safe Drill.

El Kit Safe Drill sólo es compatible con el kit quirúrgico Unitite®. Para la instalación infraósea del Cono Morse se requiere el uso de una anilla de 1.5 mm superior a la profundidad del implante deseada (excepto Unitite® Compact).

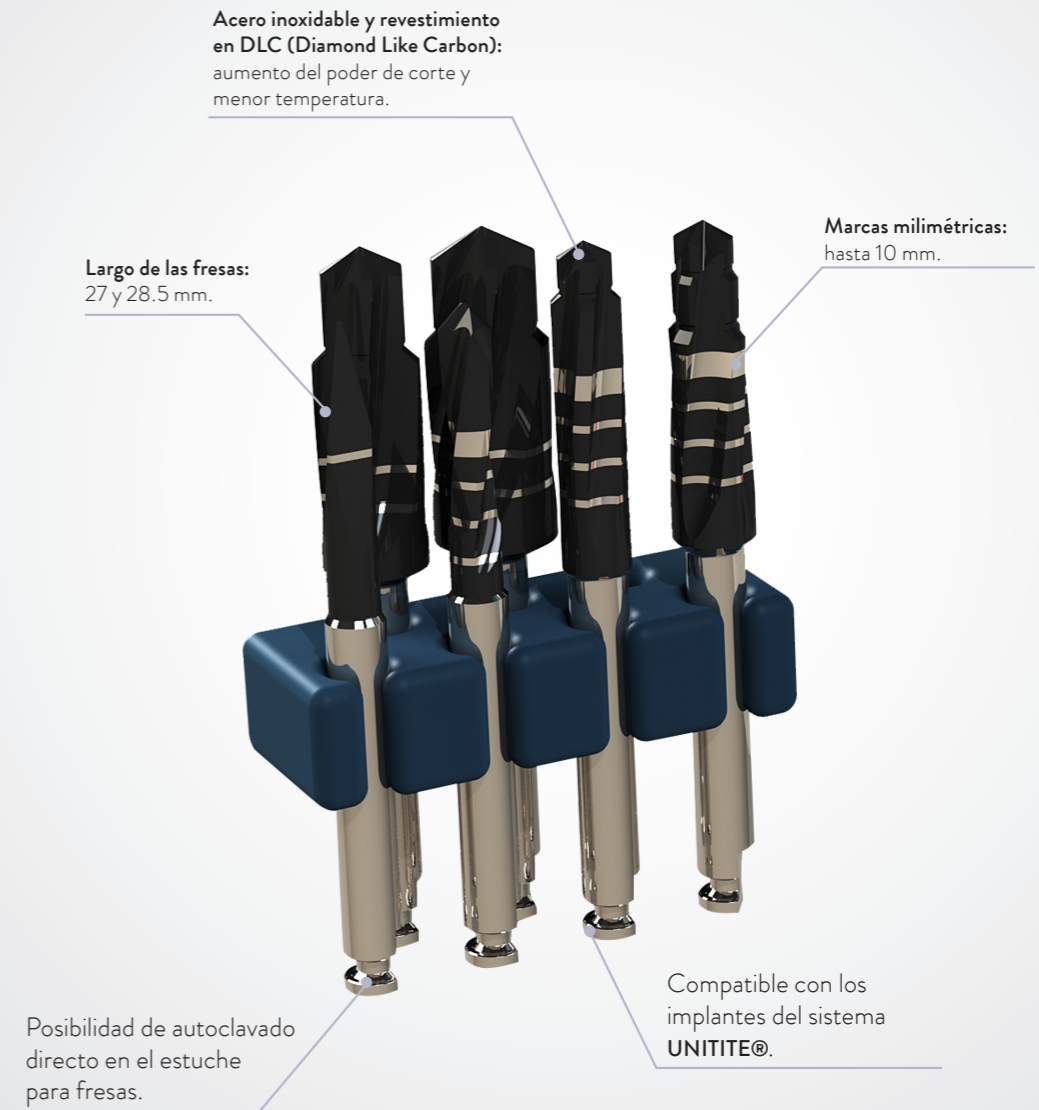
KIT SAFE DRILL Unitite®: KUSD 02 CAJA ORGANIZADORA SAFE DRILL: COUSD 02

CÓDIGO	DESCRIPCIÓN	CÓDIGO	DESCRIPCIÓN	CÓDIGO	DESCRIPCIÓN
COUSD 02	CAJA ORGANIZADORA SAFE DRILL	LSDD 3085	LIMITADOR SAFE DRILL ø 3.00/ø 3.30 x 8.5 mm	LSDD 3811	LIMITADOR SAFE DRILL ø 3.80/ø 4.25 x 11.5 mm
LSDD 2005	LIMITADOR SAFE DRILL ø 2.00/ø 2.70 x 5.0 mm	LSDD 3007	LIMITADOR SAFE DRILL ø 3.00/ø 3.30 x 7.0 mm	LSDD 3813	LIMITADOR SAFE DRILL ø 3.80/ø 4.25 x 13.0 mm
LSDD 2006	LIMITADOR SAFE DRILL ø 2.00/ø 2.70 x 6.0 mm	LSDD 3010	LIMITADOR SAFE DRILL ø 3.00/ø 3.30 x 10.0 mm	LSDD 3815	LIMITADOR SAFE DRILL ø 3.80/ø 4.25 x 15.0 mm
LSDD 2007	LIMITADOR SAFE DRILL ø 2.00/ø 2.70 x 7.0 mm	LSDD 3011	LIMITADOR SAFE DRILL ø 3.00/ø 3.30 x 11.5 mm	LSDD 4505C	LIMITADOR SAFE DRILL ø 4.50/ø 5.80 x 5.0 mm
LSDD 2085	LIMITADOR SAFE DRILL ø 2.00/ø 2.70 x 8.5 mm	LSDD 3013	LIMITADOR SAFE DRILL ø 3.00/ø 3.30 x 13.0 mm	LSDD 4506C	LIMITADOR SAFE DRILL ø 4.50/ø 5.80 x 6.0 mm
LSDD 2010	LIMITADOR SAFE DRILL ø 2.00/ø 2.70 x 10.0 mm	LSDD 3015	LIMITADOR SAFE DRILL ø 3.00/ø 3.30 x 15.0 mm	LSDD 4507C	LIMITADOR SAFE DRILL ø 4.50/ø 5.80 x 7.0 mm
LSDD 2011	LIMITADOR SAFE DRILL ø 2.00/ø 2.70 x 11.5 mm	LSDD 3805C	LIMITADOR SAFE DRILL ø 3.80/ø 4.25 x 5.0 mm	LSDD 4585	LIMITADOR SAFE DRILL ø 4.50/ø 5.80 x 8.5 mm
LSDD 2013	LIMITADOR SAFE DRILL ø 2.00/ø 2.70 x 13.0 mm	LSDD 3806C	LIMITADOR SAFE DRILL ø 3.80/ø 4.25 x 6.0 mm	LSDD 4510	LIMITADOR SAFE DRILL ø 4.50/ø 5.80 x 10.0 mm
LSDD 2015	LIMITADOR SAFE DRILL ø 2.00/ø 2.70 x 15.0 mm	LSDD 3807C	LIMITADOR SAFE DRILL ø 3.80/ø 4.25 x 7.0 mm	LSDD 4511	LIMITADOR SAFE DRILL ø 4.50/ø 5.80 x 11.5 mm
LSDD 3005	LIMITADOR SAFE DRILL ø 3.00/ø 3.30 x 5.0 mm	LSDD 3885	LIMITADOR SAFE DRILL ø 3.80/ø 4.25 x 8.5 mm	LSDD 4513	LIMITADOR SAFE DRILL ø 4.50/ø 5.80 x 13.0 mm
LSDD 3006	LIMITADOR SAFE DRILL ø 3.00/ø 3.30 x 6.0 mm	LSDD 3810	LIMITADOR SAFE DRILL ø 3.80/ø 4.25 x 10.0 mm	LSDD 4515	LIMITADOR SAFE DRILL ø 4.50/ø 5.80 x 15.0 mm

*Verifique la disponibilidad del producto en su país.

KIT SHORT DRILL

EL SISTEMA DE FRESA DE LA LÍNEA UNITITE ESTÁ COMPLETO.



INDICACIÓN
En los casos que necesitan de fresas con menor longitud para pacientes con limitación de apertura de boca.

KIT SHORT DRILL: KSDU

CÓDIGO	DESCRIPCIÓN	LONG.	DIÁM.	CÓDIGO	DESCRIPCIÓN	LONG.	DIÁM.
FRLD 2005C	FRESA LANZA Ø2.0MM CORTA	27	Ø2.00	FUM 3510C	FRESA UNITITE Ø3.3 X 10MM CORTA	28.5	Ø3.30
FHCD 2010C	FRESA HELICOIDAL Ø2.0 X 10MM CORTA	27	Ø2.00	FUM 4310C	FRESA UNITITE Ø4.1 X 10MM CORTA	28.5	Ø4.10
FUM 2910C	FRESA UNITITE Ø2.7 X 10MM CORTA	28.5	Ø2.70	FUM 5010C	FRESA UNITITE Ø4.8 X 10MM CORTA	28.5	Ø4.80

*El kit se envía con el cartucho y el blister de componentes.

KIT DE CIRUGÍA GUIADA UNITITE®

KITS COMPACTOS Y COMPLETOS

Desarrollado con la más alta tecnología y calidad industrial, el **Kit S.I.N. Guided Surgery** proporciona innumerables beneficios en el procedimiento de colocación de implantes dentales.

Ahora puede ofrecer a sus pacientes **una cirugía con más comodidad, extrema precisión y una disminución significativa del tiempo de cirugía, favoreciendo la recuperación postoperatoria.**

Conozca lo mejor que el mundo de la implantología tiene para ofrecerle.

Codificación por colores
Sistema moderno y de fácil identificación.



Sistema Safe Drill integrado
Limitadores que permiten el CONTROL EXACTO DE LA PROFUNDIDAD del alveolo.

Posibilidad de colocación en diversos diámetros*, longitudes y plataformas protésicas.

CÓDIGO DEL PRODUCTO: KCSUG 04

* EXCEPTO UNITITE COMPACT (DIÁM. 5 Y 6MM).

*Verifique la disponibilidad del producto en su país.

Con la técnica de Cirugía Guiada obtiene:

- Menor tiempo quirúrgico, debido a la mayor precisión en la colocación de los implantes
- Previsibilidad y exactitud en la planificación
- Alta tasa de supervivencia de los implantes
- Reducción del sangrado
- Recuperación más rápida del paciente

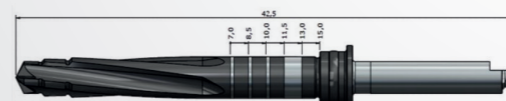
- Mayor comodidad postoperatoria
- Preservación del volumen de tejido óseo alrededor del implante
- Mejor mantenimiento de los tejidos blandos
- Posibilidad de colocación inmediata de la prótesis a través del flujo digital

Sistema de fresas largas y cortas

> Mayor variedad de opciones de acuerdo con el caso clínico.

Fresa estándar: 42,5 mm.

- > Marcas de profundidad a láser;
- > Safe Drill;
- > Recomendado para todo tipo de procedimientos;



Fresas cortas: 37,5 mm;

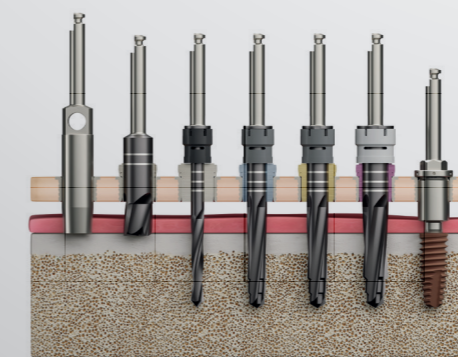
- > Recomendadas para pacientes con poca apertura bucal / regiones posteriores;
- > Permite la colocación de implantes de 7 mm/8,5 mm/ 10,0 mm/ 11,5 mm**;
- > No tiene encaje para el limitador Safe Drill.



*En la condición H6.5 con fresas cortas, la longitud máxima del implante por colocar debe ser de 10,0 mm.

Sistema flexible de posición de anillas

> Permite situar las guías quirúrgicas en dos posiciones, en relación con el nivel óseo.



Sistema estrecho de anillas

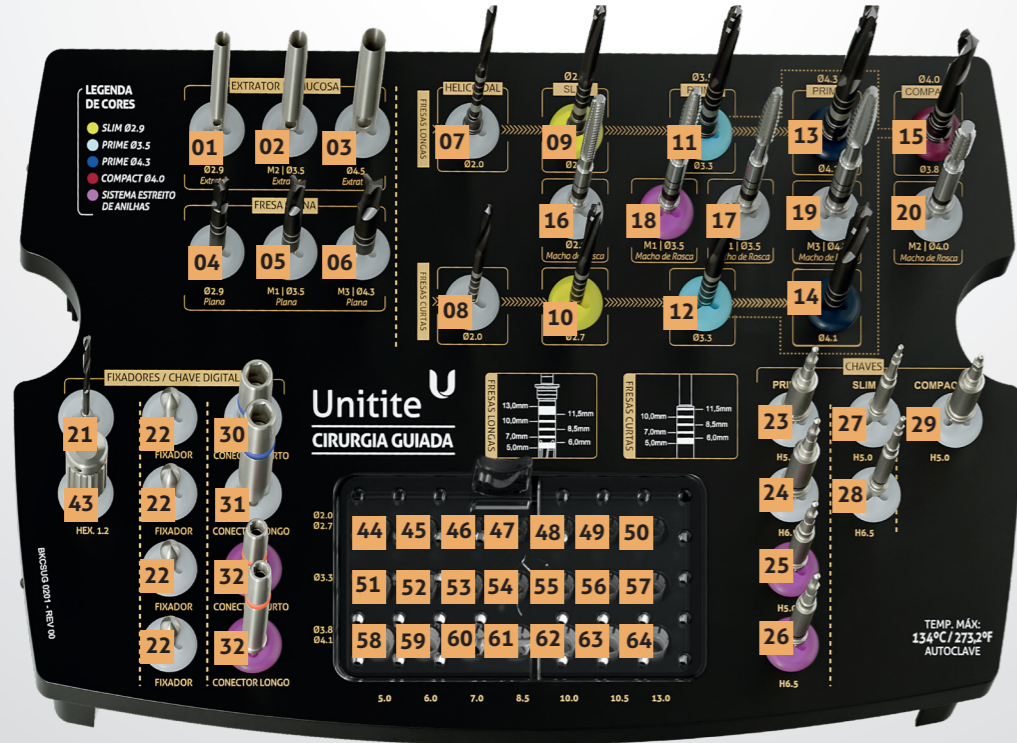
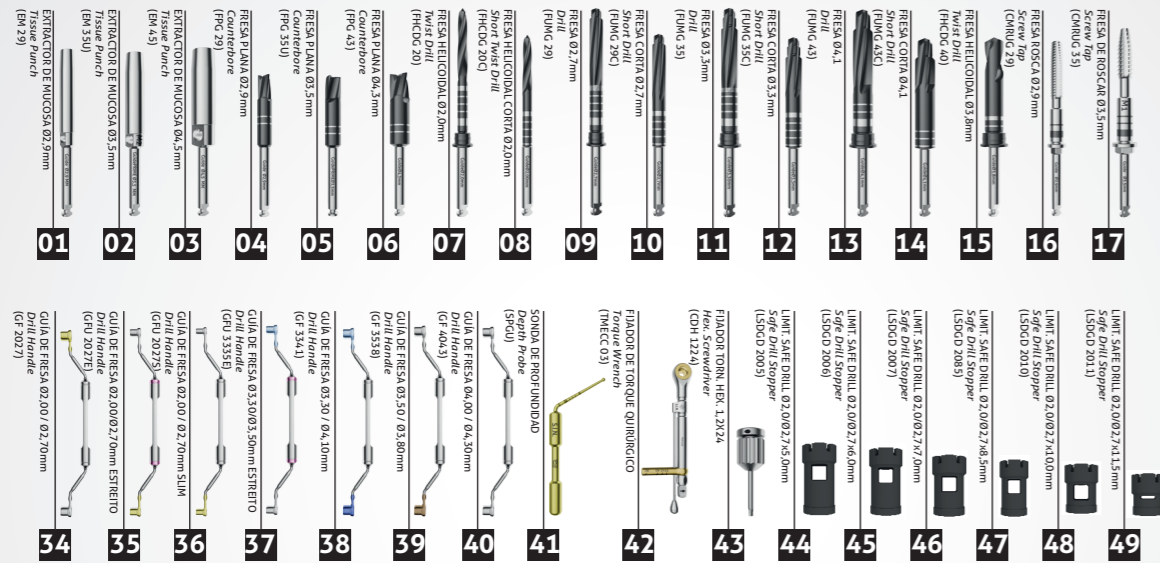
> Evita la colisión entre las anillas de la guía y los errores de orientación en pequeñas distancias mesiodistales.



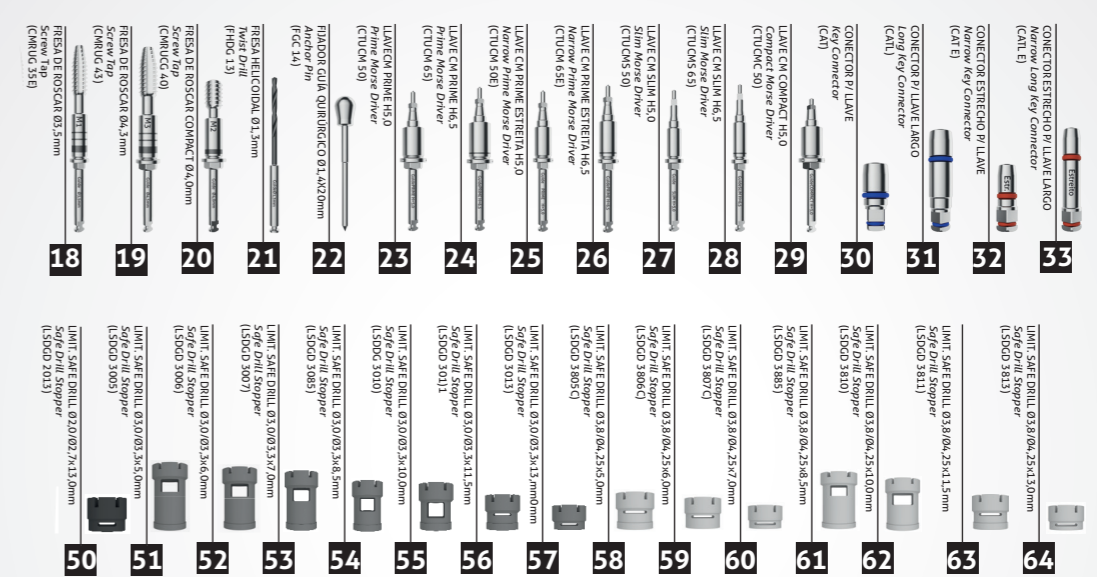
CÓD.	DESCRIPCIÓN
AFG 14	ANILHA PARA FIXADOR DE GUIA Ø 1,4 mm
AG 40	ANILHA PARA FIXADOR DE GUIA Ø 4,0 mm
AG 50	ANILHA PARA FIXADOR DE GUIA Ø 5,0 mm

CAJA ORGANIZADORA

KIT DE CIRUGÍA GUIADA UNITITE



CAJA ORGANIZADORA: BKCSUG



*Verifique la disponibilidad del producto en su país.

CONOCE NUESTROS KITS COMPLEMENTARIOS



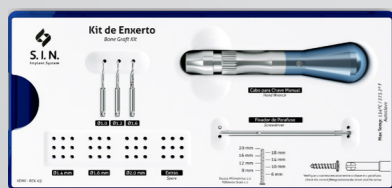
KIT PROTÉSICO

Ideal para la fase restauradora con precisión, agilidad y seguridad.
Código: KTMEC 02



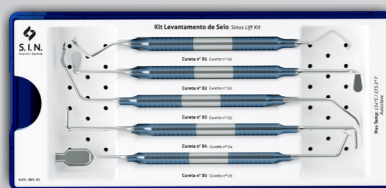
KIT EXPANSOR

Ideal para realizar la expansión lateral, ayudando a evitar la necesidad de injertos óseos.
Código: KEXP



KIT DE INJERTO ÓSEO

Utilizado para la estabilización de injertos óseos en bloque y para cirugías de regeneración guiada.
Código: KENX



KIT LEVANTAMIENTO DE SENO

Indicado para cirugías de elevación del seno maxilar, este kit permite el desplazamiento de la membrana sinusal, así como el curetaje y la compactación del injerto.
Código: KLEV 02



KIT OSTEÓTOMO

Permite una elevación traumática del seno maxilar, resultando en un aumento vertical del hueso.
Código: KOST



KIT EXPANSOR ROTATIVO

Indicado para casos con espesor óseo limitado. Recomendado para la expansión y compactación lateral, ayudando a evitar la necesidad de injertos óseos.
Código: ER



KIT DE ORTODONCIA

Diseñado para la instalación y extracción quirúrgica sencilla de mini tornillos, asistiendo en el tratamiento de ortodoncia.
Código: KOR



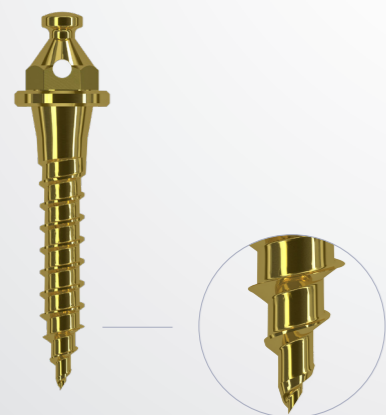
¿QUIERES SABER
MÁS? ESCANEA EL
CÓDIGO QR AL LADO



MINI-IMPLANTES DE ORTODONCIA

- > Fácil instalación y remoción.
- > Puede realizarse la carga inmediata después de la aplicación quirúrgica.
- > Fácil conexión con los accesorios de ortodoncia.
- > Diámetro del orificio: 0,6 mm.

ÁPICE DE ROSCA AUTOPERFORANTE:



INFORMACIONES TÉCNICAS DE INSTALACIÓN

► Longitudes:

Profundidad gingival = 0, 1, 2 y 3 mm.
Cuerpo = 6, 8 y 10 mm (6 y 8 mandíbula y 10 en huesos de tipo IV).

► Diámetro:

1.4 mm
1.6 mm
1.8 mm

AUTOPERFORANTE SIN PERFIL TRANSMUCOSO



CÓDIGO	DIÁM.	LONG.
POT 1406	1.4 mm	6.0 mm
POT 1408	1.4 mm	8.0 mm
POT 1400	1.4 mm	10.0 mm
POT 1606	1.6 mm	6.0 mm
POT 1608	1.6 mm	8.0 mm
POT 1600	1.6 mm	10.0 mm
POT 1806	1.8 mm	6.0 mm
POT 1808	1.8 mm	8.0 mm
POT 1800	1.8 mm	10.0 mm

AUTOPERFORANTE CON PERFIL TRANSMUCOSO - 2mm



CÓDIGO	DIÁM.	LONG.
POT 1420	1.4 mm	10.0 mm
POT 1428	1.4 mm	8.0 mm
POT 1620	1.6 mm	10.0 mm
POT 1628	1.6 mm	8.0 mm
POT 1820	1.8 mm	10.0 mm
POT 1828	1.8 mm	8.0 mm

AUTO PERFORANTE CON PERFIL TRANSMUCOSO CORTO - 1mm



CÓDIGO	DIÁM.	LONG.
POT 1416	1.4 mm	6.0 mm
POT 1418	1.4 mm	8.0 mm
POT 1410	1.4 mm	10.0 mm
POT 1616	1.6 mm	6.0 mm
POT 1618	1.6 mm	8.0 mm
POT 1610	1.6 mm	10.0 mm
POT 1816	1.8 mm	6.0 mm
POT 1818	1.8 mm	8.0 mm
POT 1810	1.8 mm	10.0 mm

AUTO PERFORANTE CON PERFIL TRANSMUCOSO - 3mm




CÓDIGO	DIÁM.	LONG.
POT 1438	1.4 mm	8.0 mm
POT 1430	1.4 mm	10.0 mm
POT 1638	1.6 mm	8.0 mm
POT 1630	1.6 mm	10.0 mm
POT 1838	1.8 mm	8.0 mm
POT 1830	1.8 mm	10.0 mm

INSTRUMENTAL DE LOS KITS COMPLEMENTARIOS









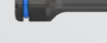
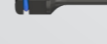
LLAVES DIGITALES

ÍTEM	CÓDIGO	DESCRIPCIÓN	LONG.	INDICACIÓN
	CDA 20	LLAVE DE PILAR 20.0MM	CORTA	Utilizada para la instalación del tornillo del mini-pilar y del pilar cónico
	CDA 24	LLAVE DE PILAR 24.0MM	LARGA	Utilizada para la instalación del tornillo del mini-pilar y del pilar cónico
	CDH 0920	LLAVE DIGITAL HEXAGONAL DE 0.9MM X 20MM	CORTA	Utilizada para la colocación de la tapa implante Tryon HE, pilar universal recto con tornillo pasante y pilar universal angulado
	CDH 0924	LLAVE DIGITAL HEXAGONAL DE 0.9MM X 24MM	LARGA	Utilizada para la colocación de la tapa implante Tryon HE, pilar universal recto con tornillo pasante y pilar universal angulado
	CDH 1220	LLAVE DIGITAL HEXAGONAL DE 1.2MM X 20MM	CORTA	Utilizada para la instalación del montador, cicatrizador, transfer, tornillos de retención (PTL 16, PT 2006, PT 2008, PRH 20 y PRH 30) y tornillos de laboratorio. Punta hexagonal de 1,2 mm
	CDH 1224	LLAVE DIGITAL HEXAGONAL DE 1.2MM X 24MM	LARGA	Utilizada para la instalación del montador, cicatrizador, transfer, tornillos de retención (PTL 16, PT 2006, PT 2008, PRH 20 y PRH 30) y tornillos de laboratorio. Punta hexagonal de 1,2 mm
	CDHA 1220	LLAVE DIGITAL HEX. MINI-PILAR ÂNG. 20.0MM	CORTA	Tornillo de minipilar angulado. Punta hexagonal de 1,2 mm (excepto mini pilar angulado Unitite)
	CDHA 1224	LLAVE DIGITAL HEX. MINI-PILAR ÂNG. 24.0MM	LARGA	Tornillo de minipilar angulado. Punta hexagonal de 1,2 mm (excepto mini pilar angulado Unitite)
	CDHA 1237	LLAVE DIGITAL HEX. MINI-PILAR ÂNG. 37,0MM	EXTRA LARGA	Tornillo de minipilar angulado. Punta hexagonal de 1,2 mm (excepto mini pilar angulado Unitite)
	CDQ 1220	LLAVE DIGITAL QUADRADA 20.0MM	CORTA	Utilizada para la instalación de los tornillos de retención con encaje cuadrado (PTQ 2008, PTQH 18 y PTQ 2006). Punta de 1,3 mm

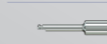

MARTILLO QUIRÚRGICO

ÍTEM	CÓDIGO	DESCRIPCIÓN
	MART 1	> Acero inoxidable quirúrgico utilizado con los kits de Osteótomos y Expansores > Extremo de contacto fabricado en material sintético que proporciona mayor sensibilidad, menor impacto y reducción del trauma durante el uso




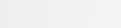
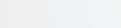
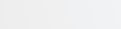
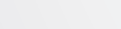
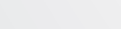
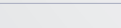
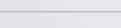
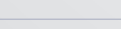
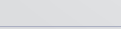
LLAVES DIGITALES

ÍTEM	CÓDIGO	DESCRIPCIÓN	LONG.	INDICACIÓN
	CDQ 1224	LLAVE DIGITAL CUADRADA 24.0MM	LARGA	Utilizada para la instalación de tornillos de retención con encaje cuadrado (PTQ 2008, PTQH 18 y PTQ 2006). Punta de 1.3 mm
	CDQ 1237	LLAVE DIGITAL CUADRADA 37.0MM	EXTRA LARGA	Utilizada para la instalación de tornillos de retención con encaje cuadrado (PTQ 2008, PTQH 18 y PTQ 2006). Punta de 1.3 mm
	CLH 1277	LLAVE HEXAGONAL 77.0MM	EXTRA LARGA	Llave para laboratorio. Utilizada para la instalación de tornillos de retención (PTL 16, PT 2006, PT 2008, PRH 20 y PRH 30) y tornillos de laboratorio. Punta de 1.2 mm hexagonal
	CLQ 1277	LLAVE CUADRADA 77.0MM	EXTRA LARGA	Llave para laboratorio. Utilizada para la instalación de tornillos de retención con encaje cuadrado (PTQ 2008, PTQH 18 y PTQ 2006). Punta de 1.3 mm
	CRC 16	LLAVE PARA REMOCIÓN DE CILINDRO PROVISORIO	CORTA	Utilizada para la remoción del cilindro provisorio Cono Morse Strong SW 1.6 mm
	CRC 18	LLAVE PARA REMOCIÓN DE CILINDRO PROVISORIO	CORTA	Utilizada para la remoción del cilindro provisorio Cono Morse Unitite Prime 1.8 mm
	CDH 1620	LLAVE DIGITAL HEX 1.6MM	CORTA	Utilizada para la instalación del pilar Multifuncional. Punta hexagonal de 1.6 mm
	CDH 1624	LLAVE DIGITAL HEX 1.6MM	MEDIA	Utilizada para la instalación del pilar Multifuncional. Punta hexagonal de 1.6 mm
	CCH 1620	LLAVE DE TRINQUETE HEX. 1,6MM	CORTA	Utilizada para la instalación y torque del pilar multifuncional. Punta hexagonal de 1.6 mm
	CCH 1624	LLAVE DE TRINQUETE HEX. 1,6MM	MEDIA	Utilizada para la instalación y torque del pilar multifuncional. Punta hexagonal de 1.6 mm

FRESAS PERFILADORAS ÓSSEAS

ÍTEM	CÓDIGO	DESCRIPCIÓN	INDICACIÓN
	PO 4150	Plataforma 4.1 mm – Hex. Externo	Abre perfil del hueso para 5.0 mm
	PO 5055	Plataforma 5.0 mm – Hex. Externo	Abre perfil del hueso para 5.5 mm

LLAVE PARA CONTRA-ÁNGULO

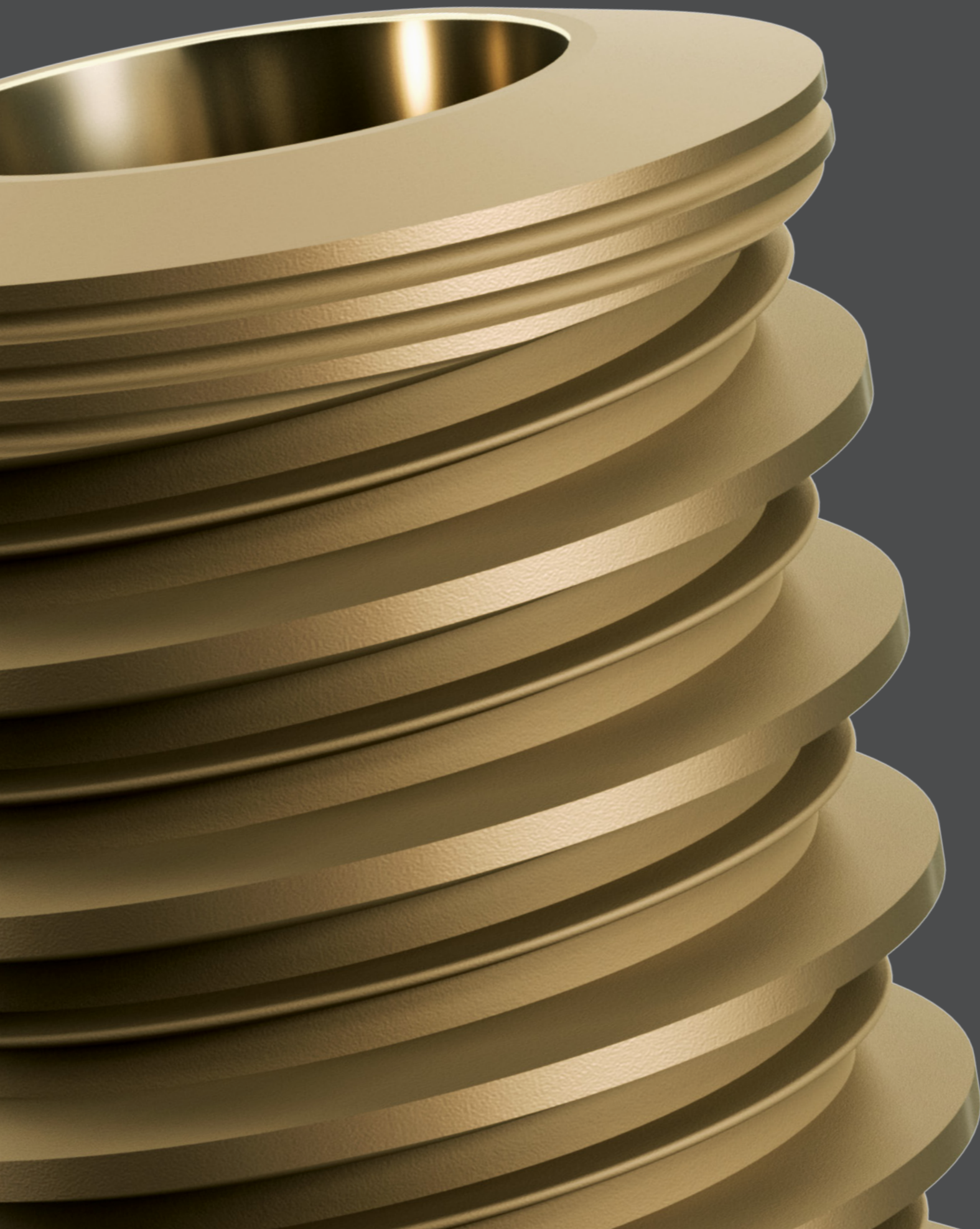
ÍTEM	CÓDIGO	DESCRIPCIÓN	LONG.	INDICACIÓN
	CTA 1224	LLAVE TORQUE PILAR 24.0MM	LARGO	Utilizada para la instalación del tornillo del mini-pilar y del pilar cónico
	CTH 0924	LLAVE TORQUE HEXAGONAL CONTRA-ÁNGULO 24.0MM	LARGO	Utilizada para la colocación de la tapa implante Tryon HE, pilar universal recto con tornillo pasante y pilar universal angulado
	CTH 1220	LLAVE TORQUE HEXAGONAL CONTRA-ÁNGULO 20.0MM	CORTO	Utilizada para la instalación del montador, cicatrizador, transfer, tornillos de retención (PTL 16, PT 2006, PT 2008, PRH 20 y PRH 30) y tornillos de laboratorio. Punta hexagonal de 1.2 mm
	CTH 1224	LLAVE TORQUE HEXAGONAL CONTRA-ÁNGULO 24.0MM	LARGO	Utilizada para la instalación del montador, cicatrizador, transfer, tornillos de retención (PTL 16, PT 2006, PT 2008, PRH 20 y PRH 30) y tornillos de laboratorio. Punta hexagonal de 1.2 mm
	CTH 1230	LLAVE TORQUE HEXAGONAL CONTRA-ÁNGULO 30.0MM	EXTRA LARGA	Utilizada para la instalación del montador, cicatrizador, transfer, tornillos de retención (PTL 16, PT 2006, PT 2008, PRH 20 y PRH 30) y tornillos de laboratorio. Punta hexagonal de 1.2 mm
	CTHA 1220	LLAVE TORQUE HEXAGONAL CONTRA-ÁNGULO MINI PILAR ANGULADO 20.0MM	CORTO	Utilizada para la instalación del tornillo del mini-pilar angulado. Punta hexagonal de 1.2 mm (excepto para el mini-pilar angulado Unitite)
	CTHA 1224	LLAVE TORQUE HEXAGONAL CONTRA-ÁNGULO MINI PILAR ANGULADO 24.0MM	LARGO	Parafuso do mini-abutment angulado. Ponta de 1.2mm hexagonal (exceto para mini abutment angulado Unitite).
	CTQ 20	LLAVE TORQUE CUADRADA 20.0MM	CORTO	Utilizada en contra-ángulo para la instalación de tornillos de retención de encaje cuadrado (PTQ 2008, PTQH 18, PTQ 2006). Punta de 1.3 mm
	CTQ 24	LLAVE TORQUE CUADRADA 24.0MM	LONGA	Utilizada en contra-ángulo para la instalación de tornillos de retención de encaje cuadrado (PTQ 2008, PTQH 18, PTQ 2006). Punta de 1.3 mm
	CTQ 30	LLAVE TORQUE CUADRADA 30.0MM	EXTRA LARGA	Utilizada en contra-ángulo para la instalación de tornillos de retención de encaje cuadrado (PTQ 2008, PTQH 18, PTQ 2006). Punta de 1.3 mm
	CTH 1620	LLAVE CONTRA-ÁNGULO HEXAGONAL 1.6MM	CORTO	Utilizada en contra-ángulo para la instalación de pilares multifuncionales
	CTH 1624	LLAVE CONTRA-ÁNGULO HEXAGONAL 1.6MM	MEDIO	Utilizada en contra-ángulo para la instalación de pilares multifuncionales

FRESAS HELICOIDALES

ÍTEM	CÓDIGO	MEDIDA	DESCRIPCIÓN
	FH 2010	ø 2,0x 10,0 mm	<ul style="list-style-type: none"> > Acero inoxidable quirúrgico > Tratamiento térmico > Marcado a láser > Utilizada como secuencia para la confección del alveolo
	FH 2020	ø 2,0x 18,0 mm	
	FH 3010	ø 3,0x 10,0 mm	
	FH 3020	ø 3,0x 18,0 mm	

FRESAS TREFINAS

ÍTEM	CÓDIGO	MEDIDA	DESCRIPCIÓN
	FTR 02	ø 2,0 mm	<ul style="list-style-type: none"> > Acero inoxidable quirúrgico > Tratamiento térmico > Marcado a láser > Puede utilizarse para la remoción de implantes, retirada del hueso y biopsias óseas > Medidas referentes al diámetro interno de la pieza
	FTR 04	ø 4,2 mm	
	FTR 05	ø 5,1 mm	
	FTR 06	ø 6,1 mm	
	FTR 08	ø 8,0 mm	



CALIDAD Y TECNOLOGÍA SUPERIOR

*GARANTIZAMOS NUESTROS PRODUCTOS,
PORQUE ESTAMOS ORGULLOSOS DE
LO QUE PRODUCIMOS.*



La principal prioridad de S.I.N. es garantizar la calidad y la seguridad de sus clientes. Ofrecer lo mejor en implantes, componentes, kits quirúrgicos e instrumentos es la base de todo nuestro trabajo.

INSPECCIÓN EN EL 100% DE LOS LOTES FABRICADOS

El control de calidad se lleva a cabo en todos los productos fabricados por S.I.N., a fin de garantizar el éxito de las cirugías de sus clientes y el cumplimiento de las normas de calidad, además de añadir valor a todos aquellos que han optado por crear nuevas sonrisas.



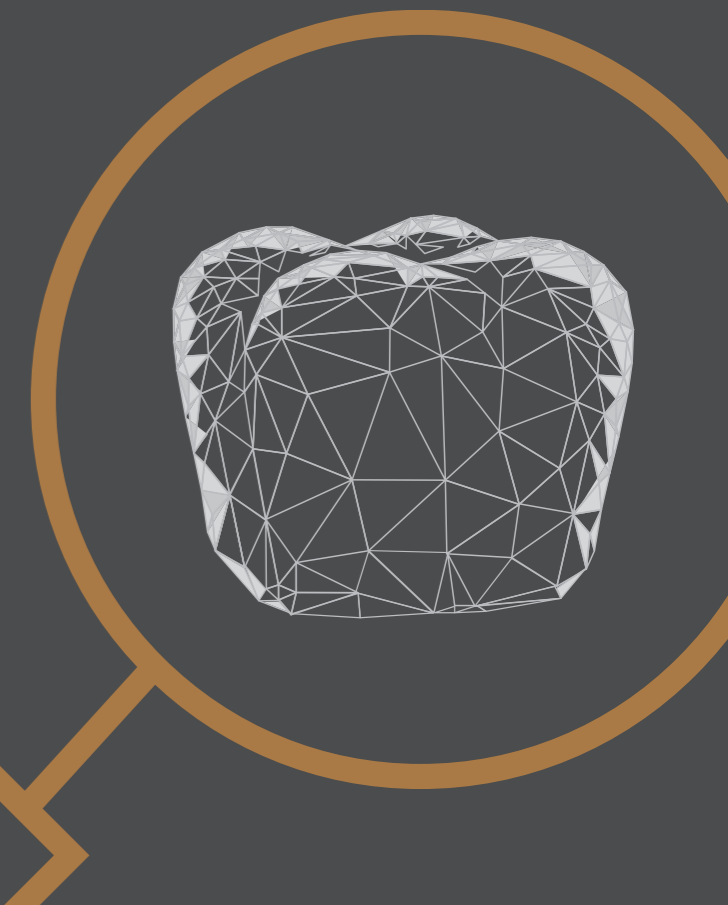
**IMPLANTES CON
GARANTÍA VITALICIA*.**



**5 AÑOS DE GARANTÍA:
COMPONENTES PROTÉSICOS*.**



*ESCANEE EL CÓDIGO QR PARA ACCEDER
A LAS CONDICIONES DE LA GARANTÍA
S.I.N.O ACCEDA AL ENLACE
GO.SINIMPLANTSYSTEM.COM/3WRUHRR



COMPONENTE ORIGINAL S.I.N.

S.I.N. garantiza la calidad de sus implantes y componentes originales. Nuestro proceso de fabricación cuenta con estrictos controles de calidad y seguridad y está homologado por diversas certificaciones nacionales e internacionales.

Conozca las ventajas de utilizar implantes y componentes originales S.I.N.:

- › Alta precisión dimensional garantizada y ajuste perfecto.
- › Excelente adaptación biomecánica micrométrica entre implante y componentes.
- › El color rosa de los componentes hace que el aspecto de la prótesis en la transmucosa sea mucho más natural, incluso cuando hay retracción, saucerización o alteraciones periimplantarias.
- › Fabricado con materias primas de alta calidad.
- › Resistencia mecánica a las fuerzas aplicadas en la boca.
- › Garantía de productos de calidad para sus pacientes.›
- › Segurança de produtos de qualidade para seus pacientes.



MÁS FACILIDAD Y SEGURIDAD PARA SUS PROCEDIMIENTOS CLÍNICOS

Los paquetes de S.I.N. brindan practicidad, manteniendo los productos íntegros, facilitando su manipulación e identificación.

› **01** Embalaje más fácil de abrir y manipular con guantes.

› **03** Mantiene el implante y la tapa del implante en compartimientos separados.

› **05** Con un conector propio, capture el implante con la llave de contra-ángulo y muévelo hasta conseguir el encaje perfecto.



› **02** Embalaje transparente simplicidad y rapidez en la identificación del implante.

› **04** Sistema de apertura superior con sistema giratorio que asegura la esterilización del implante.

› **06** El único sistema de implantes que ofrece la tapa del implante en el mismo paquete. Para capturarlo, retirar la tapa superior del tubo y encajar la llave digital hexagonal de 1,2 mm.

Importante: El implante no debe ser tomado con la llave de trinquete.

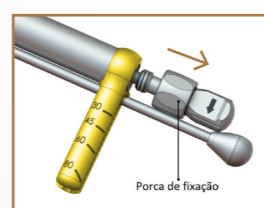
DESMONTAJE DEL TORQUIMETRO

La limpieza debe realizarse inmediatamente después de utilizar el torquímetro.

Para la limpieza, el torquímetro debe ser desmontado. Para ello, no es necesario el uso de herramientas.

Tire del mango del inversor de dirección hacia atrás.

› 01



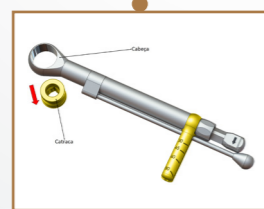
Retire el eje central del torquímetro.

› 04



Retire el torniquete del encaje con la cabeza

› 02



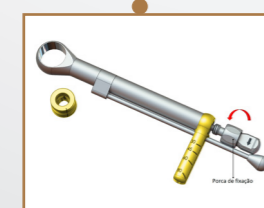
Retire el mango con graduación de torque.

› 05



Gire la puerta de fijación en sentido antihorario

› 03



Inicie el procedimiento de limpieza.

› 06

INSTRUCCIONES GENERALES

Cuidados especiales y aclaraciones sobre los instrumentos quirúrgicos.



LIMPIEZA DEL KIT

- Retire manualmente todos los instrumentos quirúrgicos del kit. Desmonte las piezas de la caja del kit (tapa, bandeja y fondo).
- Prepare el detergente enzimático, según las instrucciones del fabricante.
- Sumergir todas las partes del producto en la solución detergente preparada y dejar actuar 5 minutos. Posteriormente, utilizando un cepillo de cerdas suaves, frotar las piezas durante al menos 2 minutos hasta eliminar por completo la materia orgánica de los productos.
- Retire las piezas de la solución de detergente y enjuague con agua corriente durante 1 minuto hasta eliminar completamente los residuos. Repetir el enjuague dos veces más.
- Inspección visual de cada parte en busca de residuos del proceso de limpieza o desechos orgánicos del uso del producto.
- Si se detectan residuos en el producto, repita el proceso de limpieza hasta que se eliminen por completo.
- Seque con papel o paño suave, limpio, seco y desechable.



LIMPIEZA DE LOS INSTRUMENTOS

- Desmontar la pieza (si corresponde). Para torquímetros, complete el desmontaje del producto, retire todo el material orgánico interno con agua corriente y continúe con el siguiente paso solo cuando realice estos procedimientos.
- Prepare el detergente enzimático, según las instrucciones del fabricante.
- Sumerja todas las piezas del producto en la solución preparada de detergente y déjelas durante al menos 5 minutos. Luego, con un cepillo de cerdas suaves, frote las piezas para eliminar la materia orgánica de los productos.
- Retire las piezas de la solución de detergente y enjuague con agua corriente durante 1 minuto hasta eliminar completamente los residuos. Repita el enjuague dos veces más.
- Inspeccione visualmente cada parte para ver si hay residuos del proceso de limpieza o residuos orgánicos del uso del producto.
- Si se confirma la presencia de residuos en el producto, repita el proceso de limpieza, hasta la eliminación total de residuos.
- Seque las piezas con un paño suave, limpio y seco o con papel desechable.
- Continúe con el siguiente proceso de esterilización.

RECOMENDACIONES DE ESTERILIZACIÓN

- Esterilice el día anterior o el día del procedimiento.
- No se recomienda la esterilización química, ya que ciertos productos pueden causar decoloración y daños en los instrumentales.
- No utilice una temperatura superior a 60°C para secar los productos.
- Nunca use hornos de calor seco para esterilizar instrumentos de S.I.N.



ESTERILIZACIÓN

El producto es reutilizable suministrado no es estéril. Debe estar limpio y esterilizado en autoclave antes de su uso.

- Seque todos los instrumentos antes del ciclo de esterilización con vapor.
- El producto debe estar envuelto en un envoltorio esterilizable con vapor.
- Esterilice con vapor en ciclos de 121°C a 1 ATM de presión durante 30 minutos o de 134°C a 2 ATM de presión durante 20 minutos. Dejar secar durante 30 minutos.
- Coloque siempre la caja en la autoclave sobre una superficie plana y lejos de las paredes del dispositivo.
- Nunca superponga objetos o incluso otros casos.

RECOMENDACIONES DE LIMPIEZA

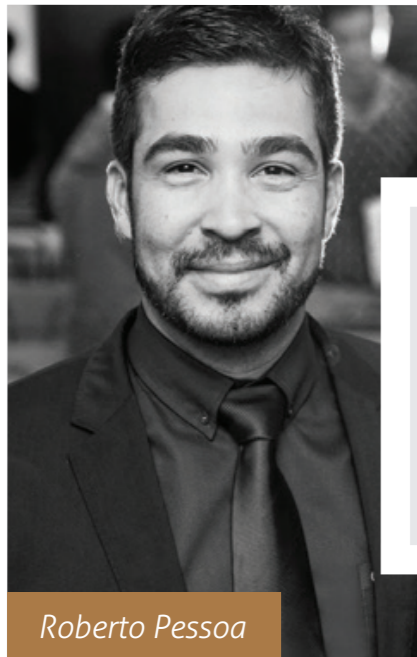
- Utilice los PPE adecuados (guantes, máscaras, gafas, gorras, etc.).
- Inicie la limpieza inmediatamente después del uso quirúrgico.
- Nunca deje que los instrumentos se sequen con residuos orgánicos después del uso quirúrgico.
- Nunca deje que el instrumento se seque naturalmente después de limpiarlo.
- Nunca use soluciones salinas, incluya hipoclorito de sodio, desinfectante, peróxido de hidrógeno o alcohol para limpiar o enjuagar los instrumentos y kits quirúrgicos.
- No utilice nunca lana de acero ni productos abrasivos para evitar dañar los instrumentos.
- No apile los instrumentos en lotes para evitar la deformación de piezas más pequeñas y delicadas.

LIMPIEZA DE LOS TORQUÍMETROS

La limpieza debe realizarse inmediatamente después de utilizar la Llave de Torque. Para su limpieza es necesario desmontar la Llave de Torque; no es necesario el uso de herramientas.

1. Tire hacia atrás la varilla de inversión de la dirección.
2. Retire el trinquete del casquillo con la cabeza.
3. Gire la puerta de fijación en sentido antihorario.
4. Retire el eje central de la Llave de Torque.
5. Retire la varilla graduada de torsión.
6. Prepare el detergente enzimático según las instrucciones del fabricante.
7. Sumerja todas las partes del producto en la solución de detergente preparada y déjelo por al menos 5 minutos, luego, usando un cepillo de cerdas suaves, frote las partes para eliminar la materia orgánica de los productos.
8. Retirar las piezas de la solución detergente y enjuagar con agua corriente durante 1 minuto, repetir el enjuague dos veces más, totalizando 3 enjuagues de 1 minuto cada uno.
9. Inspeccionar visualmente cada pieza para comprobar si existen residuos del proceso de limpieza o residuos orgánicos del uso del producto.
10. Si se confirma la presencia de residuos en el producto, repetir el proceso de limpieza hasta eliminar por completo el residuo.
11. Secar con un paño suave, limpio y seco o con papel desechable.

TESTIMONIOS DE ESPECIALISTAS



Roberto Pessoa

“EL IMPLANTE UNITITE HA HECHO QUE LAS PRINCIPALES DEMANDAS CLÍNICAS TENGAN RESULTADOS MÁS PREVISIBLES, COMO LA DISMINUCIÓN DEL TIEMPO ENTRE LA COLOCACIÓN DEL IMPLANTE Y LA REHABILITACIÓN FINAL DEL PACIENTE, EL MANTENIMIENTO DE LA ALTURA ÓSEA PRERIIMPLANTARIA, QUE TIENE UN GRAN IMPACTO EN LA PREVISIBILIDAD ESTÉTICA A LARGO PLAZO, Y LA REHABILITACIÓN DE ZONAS CON POCAS DISPONIBILIDAD ÓSEA, DE MANERA EFICIENTE Y MÍNIMAMENTE INVASIVA, EVITANDO EN MUCHOS CASOS LA NECESIDAD DE INJERTOS ÓSEOS. ME SIENTO HONRADO DE HABER PARTICIPADO ACTIVAMENTE EN ESTE PROYECTO.”

Posdoctorado en Biomecánica por FEMEC/UFU e Investigador en Bme - KULeuven, Bélgica. Doctorado en Periodoncia/ Implantología - FOAr/UNESP Araraquara-SP. Máster en Rehabilitación Oral - FOUFU Uberlândia-MG.

“EL RECUBRIMIENTO SUPERFICIAL DE HANANO® PRESENTE EN EL IMPLANTE UNITITE, CON UN ESPESOR HOMOGÉNEO DE 20 NANÓMETROS, AUMENTA SIGNIFICATIVAMENTE LA ENERGÍA DE LA SUPERFICIE, LA HIDROFILIA Y LA RESPUESTA DE CICATRIZACIÓN EN LAS PRIMERAS FASES DEL PROCESO DE OSTEOINTEGRACIÓN. EL IMPACTO POSITIVO DE SU BIOACTIVIDAD SE HA DEMOSTRADO EN DIVERSOS MÉTODOS AVANZADOS DE INVESTIGACIÓN, COMO EN LA TRANSDUCCIÓN DE SEÑALES Y LA MICROSCOPIA DE FUERZA ATÓMICA. LA MAYOR ABSORCIÓN PROTEICA, ASOCIADA A UNA PRESENCIA ESTADÍSTICAMENTE SIGNIFICATIVA DE PROTEÍNAS RELACIONADAS CON EL PROCESO DE CICATRIZACIÓN ÓSEA EN PRESENCIA DE UN CATALIZADOR BIOLÓGICO PARA LA MINERALIZACIÓN, HACEN DE ESTA SUPERFICIE UNA DE LAS MÁS AVANZADAS DEL MERCADO MUNDIAL DE IMPLANTES.”



Fabio Bezerra

Graduado por la Facultad de Odontología de Bauru - USP. Especialista en Periodoncia por la Facultad de Odontología de Bauru - USP. Especialista en Implantología por la INEPO - SP. Máster en Odontología de Implantes por la UNIP - São Paulo. Doctorado en Biotecnología por la IBB - UNESP



Ann Wennerberg

“NUESTRO GRUPO DE INVESTIGACIÓN LLEVA MÁS DE 10 AÑOS TRABAJANDO CON LA SUPERFICIE DE HANANO. HASTA AHORA ESTA INVESTIGACIÓN HA DADO LUGAR A DOS TESIS DOCTORALES Y UNA QUE SE ENCUENTRA EN CURSO. NUESTROS RESULTADOS EXPERIMENTALES EN 17 ESTUDIOS IN VIVO, PRINCIPALMENTE EN CONEJOS, HAN DEMOSTRADO UNA MEJOR RESPUESTA ÓSEA PARA LOS IMPLANTES DE TITANIO CON LA SUPERFICIE HANANO Y EN LOS IMPLANTES PEEK, EN COMPARACIÓN CON LOS IMPLANTES SIN ESTA SUPERFICIE.”

DDS/PhD y Director del Departamento de Prosthodontia de la Universidad de Malmö, Suecia. Especialista en superficies de implantes y autor de más de 220 artículos científicos publicados en revistas de renombre sobre este tema.

“CON LA NUEVA SUPERFICIE UNITITE® HEMOS COMPROBADO, A TRAVÉS DE DIVERSOS ESTUDIOS, QUE EFECTIVAMENTE SE ALCANZA LA ESTABILIDAD PRIMARIA. LA MACROGEOMETRÍA DEL PROPIO IMPLANTE PERMITE QUE EL FLUJO SANGUÍNEO LO RECORRA COMPLETAMENTE Y QUE HAYA UNA OSTEOINTEGRACIÓN INTEGRAL DESDE SU ÁPICE HASTA SUS PAREDES CENTRALES Y SU REGIÓN CERVICAL. UNITITE® ES, SIN DUDA, UN GRAN AVANCE PARA EL MUNDO DE LA IMPLANTOLOGÍA, NO SOLO POR SUS ESTUDIOS MULTICÉNTRICOS, SINO TAMBIÉN POR LOS RESULTADOS, CONTROLES RADIOGRÁFICOS Y CLÍNICOS QUE ESTAMOS TENIENDO Y QUE SON MUY ALENTADORES.”

Doctor y Máster en Cirugía Oral y Maxilofacial por el Eastman Dental Institute - University of London y Profesor del Instituto Superior de Saúde do Alto Ave (ISAVE) en Portugal.



Fernando Duarte

“LA SUPERFICIE DE HANANO ES UNA CAPA ULTRAFINA DE HUESO SINTÉTICO EN LA SUPERFICIE DEL IMPLANTE. CADA CRISTAL DE HUESO SINTÉTICO ES EXTREMADAMENTE PEQUEÑO, DE 14 A 10 NM DE LONGITUD Y CERCA DE 5 NM DE GROSOR. LO QUE HACE QUE ESTOS CRISTALES SEAN TAN ESPECIALES ES QUE TODOS TIENEN EL MISMO TAMAÑO Y LA MISMA FORMA QUE LOS QUE SE ENCUENTRAN EN EL HUESO HUMANO Y SON RECONOCIDOS POR LAS CÉLULAS ÓSEAS, ASÍ COMO POR EL TEJIDO ÓSEO, QUE ACTIVAN EL CATALIZADOR E INICIAN UN ENORME PROCESO DE CONSTRUCCIÓN ÓSEA ALREDEDOR DEL IMPLANTE. ESTE EFECTO SE HA DEMOSTRADO EN MÁS DE 20 ESTUDIOS PRECLÍNICOS CON LOS MEJORES INVESTIGADORES DE IMPLANTES DEL MUNDO.”



Per Kjellin

CTO de Promimic, coinventor de la superficie HAnano®, doctor en Materiales y Superficies Químicas por la Universidad de Chalmers en Gotemburgo, Suecia, y autor de diversas investigaciones en el área de los nanomateriales.

PUBLICACIONES CIENTÍFICAS

Arvidsson A, Currie F, Kjellin P, Sul YT, Stenport V. Nucleation and growth of calcium phosphates in the presence of fibrinogen on titanium implants with four potentially bioactive surface preparations. An in vitro study. *J Mater Sci: Mater Med* 2009; 20:1869–1879

Arvidsson A, Franke-Stenport V, Andersson M, Kjellin P, Sul YT, Wennerberg A. Formation of calcium phosphates on titanium implants with four different bioactive surface preparations. An in vitro study. *J Mater Sci: Mater Med* 2007; 18:1945-1954

Barkarmo S, Wennerberg A, Hoffman M, Kjellin P, Breeding K, Handa P, Stenport V. 2013. Nanohydroxyapatite-coated PEEK implants: A pilot study in rabbit bone. *J Biomed Mater Res A* 2013; 101A:465–471

Bezerra F, Pessoa RS, Zambuzzi WF. Carregamento funcional imediato ou precoce de implantes com câmara de cicatrização e nano-superfície: estudo clínico prospectivo longitudinal. *Innov Implant J, Biomater Esthet.* 2015;9(2/3):13-7

Bezerra F, Lenharo A, Pessoa RS, Duarte LRS, Granjeiro JM. Avaliação do impacto do edentulismo total mandibular e da reabilitação fixa sobre implantes com carga imediata na qualidade de vida de pacientes idosos. *Rev Dental Press Periodontia Implantol.* 2011 jul-set;5(3):101-10

Bezerra F, Ribeiro EDP, Bittencourt S, Lenharo A. Influência da experiência do operador na estabilidade primária de implantes com diferentes macro-geometrias – estudo in vitro. *Int J Dent* 2010; 9(2):63-67

Bezerra F, Ribeiro EP, Bittencourt S, Lenharo A. Influência da macrogeometria na estabilidade primária dos implantes em diferentes densidades ósseas. *Implant News* 2010;7(5):671-6.

Bezerra F, Ribeiro EP, Bittencourt S, Lenharo A. Influência da macrogeometria na estabilidade dos implantes. *Innov Implant J* 2010; 5:29-34

Bonfante EA, Janal MN, Granato R, Marin C, Suzuki M, Tovar N, Coelho PG. Buccal and lingual bone level alterations after immediate implantation of four implant surfaces: a study in dogs. *Clin. Oral Impl. Res.* 2013; 24:1375–1380

Bonfante EA, Granato R, Marin C, Suzuki M, Oliveira SR, Giro G, Coelho PG: Early bone healing and biomechanical fixation of dual acid-etched and as-machined implants with healing chambers: an experimental study in dogs. *The International Journal of Oral & Maxillofacial Implants* 2011; 26: 75-82

Campos FEB, Jimbo R, Bonfante EA, Barbosa EA, Oliveira MTF, Janal MN, Coelho PG. Are insertion torque and early osseointegration proportional? A histologic evaluation. *Clinical Oral Implants Research* 2014 Jul 4. doi: 10.1111/clr.12448. [Epub ahead of print]

Campos FEB, Jimbo R, Bonfante EA, Oliveira MTF, Moura C, Barbosa DZ, Coelho PG. Drilling dimension effects in early stages

of osseointegration and implant stability in a canine model. *Med Oral Patol Oral Cir Bucal.* 2015 Apr 10. [Epub ahead of print]

Arvidsson A, Currie F, Kjellin P, Sul YT, Stenport V. Nucleation and growth of calcium phosphates in the presence of fibrinogen on titanium implants with four potentially bioactive surface preparations. An in vitro study. *J Mater Sci: Mater Med* 2009; 20:1869–1879

Arvidsson A, Franke-Stenport V, Andersson M, Kjellin P, Sul YT, Wennerberg A. Formation of calcium phosphates on titanium implants with four different bioactive surface preparations. An in vitro study. *J Mater Sci: Mater Med* 2007; 18:1945-1954

Barkarmo S, Wennerberg A, Hoffman M, Kjellin P, Breeding K, Handa P, Stenport V. 2013. Nanohydroxyapatite-coated PEEK implants: A pilot study in rabbit bone. *J Biomed Mater Res A* 2013; 101A:465–471

Bezerra F, Pessoa RS, Zambuzzi WF. Carregamento funcional imediato ou precoce de implantes com câmara de cicatrização e nano-superfície: estudo clínico prospectivo longitudinal. *Innov Implant J, Biomater Esthet.* 2015;9(2/3):13-7

Bezerra F, Lenharo A, Pessoa RS, Duarte LRS, Granjeiro JM. Avaliação do impacto do edentulismo total mandibular e da reabilitação fixa sobre implantes com carga imediata na qualidade de vida de pacientes idosos. *Rev Dental Press Periodontia Implantol.* 2011 jul-set;5(3):101-10

Bezerra F, Ribeiro EDP, Bittencourt S, Lenharo A. Influência da experiência do operador na estabilidade primária de implantes com diferentes macro-geometrias – estudo in vitro. *Int J Dent* 2010; 9(2):63-67

Bezerra F, Ribeiro EP, Bittencourt S, Lenharo A. Influência da macrogeometria na estabilidade primária dos implantes em diferentes densidades ósseas. *Implant News* 2010;7(5):671-6.

Bezerra F, Ribeiro EP, Bittencourt S, Lenharo A. Influência da macrogeometria na estabilidade dos implantes. *Innov Implant J* 2010; 5:29-34

Bonfante EA, Janal MN, Granato R, Marin C, Suzuki M, Tovar N, Coelho PG. Buccal and lingual bone level alterations after immediate implantation of four implant surfaces: a study in dogs. *Clin. Oral Impl. Res.* 2013; 24:1375–1380

Bonfante EA, Granato R, Marin C, Suzuki M, Oliveira SR, Giro G, Coelho PG: Early bone healing and biomechanical fixation of dual acid-etched and as-machined implants with healing chambers: an experimental study in dogs. *The International Journal of Oral & Maxillofacial Implants* 2011; 26: 75-82

Campos FEB, Jimbo R, Bonfante EA, Barbosa EA, Oliveira MTF, Janal MN, Coelho PG. Are insertion torque and early osseointegration proportional? A histologic evaluation. *Clinical Oral Implants Research* 2014 Jul 4. doi: 10.1111/clr.12448. [Epub ahead of print]

Campos FEB, Jimbo R, Bonfante EA, Oliveira MTF, Moura C, Barbosa DZ, Coelho PG. Drilling dimension effects in early stages of osseointegration and implant stability in a canine model. *Med Oral Patol Oral Cir Bucal.* 2015 Apr 10. [Epub ahead of print]

Coelho PG, Marin C, Granato R, Bonfante EA, Lima CP, Oliveira S, Ehrenfest DMD, Suzuki M. Alveolar Buccal Bone Maintenance After Immediate Implantation with a Surgical Flap Approach: A Study in Dogs. *The International Journal of Periodontics & Restorative Dentistry* 2011;31:e80–e86

Coelho PG, Granjeiro JM, Romanos GE, Suzuki M, Silva NR, Cardaropoli G, et al. Basic research methods and current trends of dental implant surfaces. *J Biomed Mater Res B Appl Biomater.* 2009;88(2):579-96.

Coelho PG, Jimbo R. Osseointegration of metallic devices: current trends based on implant hardware design. *Archives of biochemistry and biophysics.* 2014;561:99-108

Coelho PG, Jimbo R, Tovar N, Bonfante EA. Osseointegration: hierarchical designing encompassing the micrometer, micrometer, and nanometer length scales. *Dent Mater.* 2015;31(1):37-52

Ehrenfest DMD, Coelho PG, Kang BS, Sul YT, Albrektsson T. Classification of osseointegrated implant surfaces: materials, chemistry and topography. *Trends in Biotechnology* 2009; 198-206

Jimbo R, Coelho PG, Bryington M, Baldassarri M, Tovar N, Currie F, et al. Nano hydroxyapatite-coated implants improve bone nanomechanical properties. *J Dent Res.* 2012;91(12):1172-7.

Jimbo R, Coelho PG, Bryington M, Baldassarri M, Tovar N, Currie F, et al. Nano hydroxyapatite-coated implants improve bone nanomechanical properties. *J Dent Res.* 2012;91(12):1172-7

Jimbo R, Sotres J, Johansson C, Breeding K, Currie F, Wennerberg A. The biological response to three different nanostructures applied on smooth implant surfaces. *Clin Oral Implants Res.* 2012;23(6):706-12.

Martins LM, Bonfante EA, Zavanelli RA, Freitas Jr AC, Silva NRFA, Marotta L, et al. Fatigue reliability of three single-unit implant-abutment designs. *Implant Dent.* 2011; 21: 67-71

Meirelles L, Albrektsson T, Kjellin P, Arvidsson A, Franke-Stenport V, Andersson M, Currie F, Wennerberg A. Bone reaction to nano hydroxyapatite modified titanium implants placed in a gap-healing model. *Journal of Biomedical Materials Research A* 2008; 625-631

Meirelles L, Albrektsson T, Kjellin P, Arvidsson A, Franke-Stenport V, Andersson M, Currie F, Wennerberg A. Bone reaction to nano hydroxyapatite modified titanium implants placed in a gap-healing model. *Journal of Biomedical Materials Research A* 2008; 625-631

Meirelles L, Arvidsson A, Andersson M, Jellin P, Albrektsson T, Wennerberg A: Nano hydroxyapatite structures influence early bone formation. *J Biomed Mater Res A.* 2008 Nov;87(2):299-307

Meirelles L, Currie F, Jacobsson M, Albrektsson T, Wennerberg A. The effect of chemical and nanotopographical modifications on the early stages of osseointegration. *Int J Oral Maxillofac Implants* 2008;23: 641-647

Meirelles L, Melin L, Peltola T, Kjellin P, Kangasniemi I, Currie F, Andersson M, Albrektsson T, Wennerberg A. Effect of Hydroxyapatite and Titania Nanostructures on Early In Vivo Bone Response. *Clinical Implant Dentistry and Related Research* 2008; 10(4): 245-254

Meirelles L, Melin L, Peltola T, Kjellin P, Kangasniemi I, Currie F, Andersson M, Albrektsson T, Wennerberg A. Effect of Hydroxyapatite and Titania Nanostructures on Early In Vivo Bone Response. *Clinical Implant Dentistry and Related Research* 2008; 10(4): 245-254

Pessoa RS, Coelho PG, Muraru L, Marcantonio Jr E, Vaz LG, Sloten JV, Jaecques SVN: Influence of implant design on the biomechanical environment of immediately placed implants: computed tomography-based nonlinear three-dimensional finite element analysis. *Int J Oral Maxillofac Implants* 2011;26:1279–1287

Pessoa RS, Souza RM, Pereira LM, Neves FD, Jaecques SVN, Sloten JV, Quirynen M, Teughels W, Spin-Neto R. Remodelação óssea de implantes com conexão hexágono externo e elementos de retenção no módulo da crista sob carregamento imediato – estudo clínico prospectivo longitudinal de um ano. *ImplantNews* 2015;12(4):E2-E7

Pessoa RS, Sousa RM, Pereira LM, Silva TD, Bezerra FJB, Spin-Neto R. Avaliação da estabilidade dos tecidos duros e moles em implantes imediatos com carga imediata em área estética: estudo clínico. *Dental Press Implantol.* 2015 Apr-Jun;9(2):100-9

Lenharo A, Granjeiro JM, Leão L, Bezerra F, Oliva MA. Estudo prospectivo longitudinal multicêntrico avaliando o sucesso clínico de uma nova macrogeometria de implantes osseointegráveis: acompanhamento de 06 a 12 meses. *Revista Fluminense de Odontologia* 2010; 34: 43-48

Göransson A, Arvidsson A, Currie F, Franke-Stenport V, Kjellin P, Mustafa K, Sul YT, Wennerberg A. An in vitro comparison of possibly bioactive titanium implant surfaces. *Journal of Biomedical Materials Research A* 2008; 1037-1047

Shunmugasamy VC, Gupta N, Pessoa RS, Janal MN, Coelho PG. Influence of clinically relevant factors on the immediate biomechanical surrounding for a series of dental implant designs. *J Biomech Eng.* 2011;133(3):031005.

Svanborg LM, Meirelles L, Franke-Stenport V, Kjellin P, Currie F, Andersson M, Wennerberg A. Evaluation of Bone Healing on Sandblasted and Acid Etched Implants Coated with nanocrystalline Hydroxyapatite: An In Vivo Study in Rabbit Femur. *International Journal of Dentistry* 2014; 1-7

Westas E, Gillstedt M, Lönn-Stensrud J, Bruzell E, Andersson M: Biofilm formation on nanostructured hydroxyapatite-coated titanium. *J Biomed Mater Res A.* 2014 Apr;102(4):1063-70

DONDE ESTAMOS



APUNTA LA CÁMARA DE TU MÓVIL HACIA EL CÓDIGO
QR Y DESCUBRE DÓNDE ESTÁ PRESENTE S.I.N.

MATRIZ S.I.N.

Avenida Vereador Abel Ferreira, 2140
Jardim Anália Franco - São Paulo - SP
CEP 03340-000

FÁBRICA

Rua Soldado Ocimar Guimarães da Silva, nº 421


VENTAS INTERNACIONALES

international@sinimplante.com.br

www.sinimplantsystem.com



Descubra Implantat, el hábitat educativo de S.I.N.

 implantat.global

internacional@sinimplantsystem.com

www.sinimplantsystem.com/es/

Visite nuestras Redes Sociales



[@sin.latam](https://www.instagram.com/sin.latam)



[@sinimplantglobal](https://www.facebook.com/sinimplantglobal)



[S.I.N. Implant System](https://www.youtube.com/S.I.N.ImplantSystem)



[/sin_implant](https://www.tiktok.com/sin_implant)